Statyuahr N3BECTИЯ

АКАДЕМИИ НАУК АРМЯНСКОЙ ССР

Sthubyuuuu арыльфальшьгр исгри СЕРИЯ ТЕХНИЧЕСКИХ НАУК

theyur

ÉPEBAH

Падавтея с 1947 г.

Журна: выходит не русском заыке 6 раз в год

ь вектрычит читотьи

հասյան Մ. Վ. (պատ. արտ.), Ադոնգ և Տ. քպատ. խմրագրի տեղակայ), Ալիքսենդի Վ. Վ., Անանյան Ա. Կ., Ձարոյան Մ. Ա., Հակորյան Ռ. Ե., Մարգսյան Յու Լ., Ստակյան Մ. - Տեր-Ազարե Ի։ Ա., հաստան Վ. (պատ. խմրագրի տեղակալ)։ Պատասխանատու ջարստորար Ստեվյանյան Զ. Կ.։

РЕДАКЦИОННАЯ КОЛЛЕГИЯ

Касьян М. В. (ответ. редактор), Адонц Г. Т. (зам. ответ редактора), Алексеевский В. В., Ананян А. К., Аколян Р. Е., Задоян М. А., Пинаджян В. В. (зам отнет редактора), Саркисян Ю. Л., Стакян М. Г., Тер-Азарьев И. А. Ответственныя сехретарь Степанян З. К.

маршуры: Рушь Риндва 19. 4пд. 4пд. 4 Адрес редакции: Ереван-19, ул. Барекамутик, 21 г.

Տեխնիկական գիտուր, սեշիա

XXXII, № 5, 1979

Серия технических наук

машиностроение

P. C. MAPTHPOCHE

РАСПРЕДЕЛЕНИЕ УДЕЛЬНЫХ ДАВЛЕНИИ ПА РАЗГРУЖЕННЫХ НАПРАВЛЯЮЩИХ

Анализ известных способов повышения устойчивости неремещений узлов станков показал, что наиболее перспективным является способ разгрузки направляющих [1, 2], который может привести к положительным результатам только при правильном определении распределения удельных давлений на направляющих, по которому вычисляется величина разгружающего усилия.

Предпринятая попытка учесть расчетным путем жесткость стола не дала результатов из-за большой трудоемкости составления алгоритмов и программ расчета. Поэтому ниже делаются допущения и принимается стол, как абсолютно жесткое тело. Обычно при расчете направляющих пренебрегают неравномерностью распределения удельных давлений по ширине направляющей. При широких направляющих это может привести к существенным отклонениям. В рассматриваемом случае, при наличии отверстий под разгружающие пробки и трех направляющих, лежащих в одной плоскости, указанное допущение нельзя считать оправданным. Вместо последовательного решения задачи в двух плоскостях рассматривается пространственная эпюра напряжений.

Выбираем оси координат в плоскости направляющих (рис. 1) таким образом, чтобы выполнить известные условия:

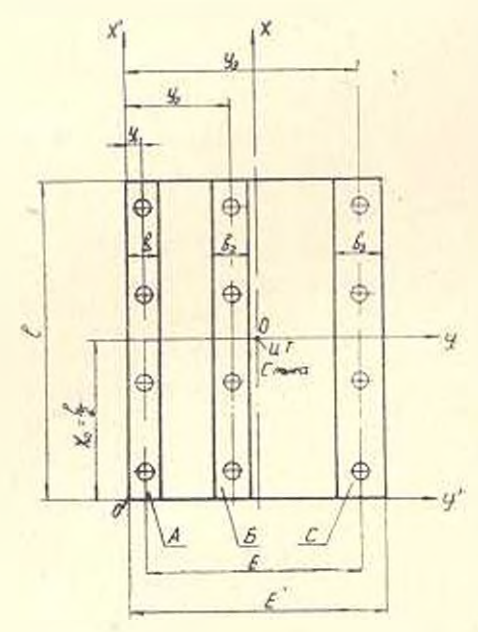
$$S_y = \int_{F} x dF = 0;$$
 $S_y = \int_{F} y dF = 0;$ $J_{xy} = \int_{F} x y dF = 0.$ (1)

Суммарная плошадь направляющих естественным образом разбивается на отдельные правильные площадки. Поэтому определение статистических моментов относительно любой системы координат x'o'y' свозится к вычислению сумм:

$$S_{x}' = \sum_{j \in I} F_{i} y_{i} : \tag{2}$$

$$S_y = \sum_{i=1}^m F_i x_i, \tag{3}$$

тле m— числю площадок: F_{ij} , x_{ij}^{*} , y_{ij}^{*} —площадь и координаты центра тяжести і-ой площадки направляющих относительно осей $x'\alpha'y'$.



Для отверстий под пробки площадь принимается отрицательной. В рассматриваемом случае суммариая площадь направляющих состоит из трех площадок А. В и С прямо-угольной формы, за вычетом площади отверстий, заиятых разгружающими пробками. Положим, что площадь стыка направляющих имеет ось симметрии, нараллельную о' у'. Тогда, одна из главных центральных осен (о у) сояпадает с пей, а другая (о х) ей перпенликуляриа. При этом имеем

$$x_0 = \frac{I}{2}$$
, $S_x = 0$, $J_{xy} = 0$: (4)

$$y_0 = \frac{S_x}{F} = \frac{F_1 y_1 + F_2 y_2 + F_3 y_3}{F_1 + F_2 + F_3}$$
(5)

Рис. 1. Схема направляющих стола.

где F_1 , F_2 , F_3 и y_1 , y_2 , y_3 площади и координаты центров тяжести направляющих A, B и C.

Площаль і-той направляющей равна:

$$F_i = lbi - \sum_{j=1}^{n} F_{nj} = lb_i \left(1 - \frac{\sum_{j=1}^{n} F_{nj}}{lb_j}\right)$$
 (6)

где l. b₁ —длива и ширина i-той направляющей;

 $d_{x,i}$ $F_{\pi i} = \frac{\pi d_{\pi i}}{4}$ —диаметр и илондадь j-ой пробки; n—чиело пробок,

расположенных на ј-ой направляющей.

Если обозначить:

$$b_{i}' = b_{i} \left(1 - \frac{\sum_{j=1}^{n} F_{nj}}{lb_{i}} \right), \tag{7}$$

то выражение для Е, примет простой вид:

$$F_t = lb_t, (8)$$

где b_{T}^{+} —приведенная — (с учетом ослабления отверстиями под пробин) ингрина t-ой направляющей.

Подставляя значение F , в (4), получим:

$$S_x = \frac{b_1 y_1 - b_2 y_2 - b_3 y_3}{b_1 + b_2 + b_3}$$
 (9)

При несимметричном расположении пробок координата x_0 определяется аналогично y_0 , а поворот главных центральных осей (при $J_{xy} = 0$) относительно x' о' y' углом

$$\frac{1}{2_0} = \frac{1}{2} \operatorname{arctg} \frac{2J_{xy}}{J_{xy}}$$
 (10)

Принимаем, что напряжения (удельные давления)— на направляющих распределяются по линейному закону

$$s = A_1 x + B_1 y + C_1. \tag{11}$$

где A_1 , B_1 и C_1 постоянные коэффициенты, не зависящие от x и y. Это соответствует предположению линейной зависимости между контактной деформациен и напряжением, а также большой жесткости стола по сравнению с контактной жесткостью направляющих. Уравнения равновесия стола имеют вид:

$$\begin{cases} \int_{F}^{C} z dF = P; \\ C sydF = Pl_{y}; \\ C sxaF = Pl_{x}, \end{cases}$$
 (12)

где P— равнодействующая всех сил, действующих на стол, включая усилия от разгружающих пробок, но без давлений, действующих непосредственно на направляющие стола: l_y — координаты точки приложения равнодействующей.

Подставив значения из (11) во второе уравнение (12), получим:

$$\prod_{F} (A_{1}x + B_{1}y + C_{1}) y dF = Ply$$
where $A_{1} \int_{F} xy dF + B_{1} \int_{F} y^{2} dF + C_{1} \int_{F} y dF = Ply$
(13)

Так как поверхность направляющих рассматривается в главных центральных осях, имеем:

$$\int_{F} xydF = 0; \qquad \int_{F} ydF = 0.$$

Поэтому на (13) паходим.

$$B_{i} = \frac{Pl_{y}}{y^{i}dP} = \frac{Ply}{J_{x}} . \tag{14}$$

Аналогичным образом из первого и третьего уравнений (12) получим:

$$\begin{cases}
C_1 = \frac{P}{F}; \\
A_1 = \frac{Pl_x}{J_y}
\end{cases}$$
(15)

Теперь формула (11) для распределення напряжений по новерхности направляющих примет вид:

$$\sigma = p \left[\frac{1}{F} + \frac{l_x}{J_y} x + \frac{l_y}{J_y} \cdot y \right]. \quad (16)$$

Применительно к направляющим столов расточных станков это выражение справедливо, если эпюра напряжений охватывает всю рабочую площадь направляющих и напряжения (удельные давления) остаются всюду положительными (о 0).

По физическому смыслу F>0, $J_*>0$, $J_*>0$, а также P>0. Наименьшее значение о достигает в одной из четырех наиболее удаленных точеах (углах) направляющих. При этом, знаки координат этой точки $X_{\frac{3}{2}}$ у, противоложны знакам, соответствующим координатам точен приложения равнодействующей инешних сил, т. е.

$$\begin{cases} t_x x_k < 0, \\ t_y y_k < 0. \end{cases} \tag{17}$$

В частности, если $l_x > 0$, $l_y > 0$, то $x_k = -x_0$; $y_k = -y_0$ (рис. 1). Если

$$\sigma_{\min} = P \left[\frac{1}{F} + \frac{l_x}{J_y} x_k + \frac{l_y}{J_x} y_k \right] < 0, \tag{18}$$

то при наличии зазоров между направляющими станины и планками стола фактическая рабочая илошадь направляющих уменьшается и формула (16) перестает быть справедливой. Для определения распределения удельных давлений в этом случае предлагается следующий метод последовательных приближений, удобный для реализации его при расчете на ЭВМ.

Полагая и (16) σ =0, находим уравнение нейтральной линии сечения направляющих (в предположении отсутствия зазоров в иланках направляющих). Площадь направляющих, охваченную положительным напряжением, принимаем за новую рабочую новерхность направляющих и вычисляем для нее положение главных центральных осей, моментов J и J_{ψ} . Затем снова проверяем условие $\tau_{\min} \gg 0$ и если оно с заданиой точностью не имполняется, то процесс итераций продолжается. Для илоского напряженного состояния хорошая сходимость этого метола последовательных приближений легко доказывается.

Подставляя в (16) координаты каждой из четырех наиболее удаленных точек направляющей и полагая $\sigma = 0$, получим уравиение замкнутого граничного контура—геометрического места точек приложения раннодействующей внешних сил P, при которых $\sigma_{\min} = 0$. Для области, находящейся впутри этого контура, $\sigma = 0$. Переиншем выражение σ в виде

$$\mathbf{z} = \frac{P}{F} \left[1 + \frac{I_x F}{J_y} x + \frac{I_y F}{J_x} y \right] \tag{19}$$

Так как

$$\frac{J_y}{F} = i_y^2$$
, $\frac{J_x}{F} = i_x^2$,

где i_i , i_j — раднусы пнершин площади ганравляющих относительно се главных центральных осей, то

Тогда уравнения граничных криных заининутся в виде:

$$\sigma = \frac{P}{F} \left[1 + \frac{l_x}{l_y^2} x_k + \frac{l_y}{l_x^2} y_k \right] = 0$$
$$- \frac{\frac{l_x}{l_y^2}}{x_k} + \frac{l_y}{l_x^2} = 1.$$

5min 20

Фис. 2. Форма замкнутого граничного контура.

Зависимость (21) это уравнение прямых в форме отрезков, отсекаемых на координатных осях граничный контур, имеющий форму четырехугольника (рис. 2) и не зависящий от величины равнодействующей P.

Полагаем теперь, что пробки приработались и распределение давления по их рабочей поверхности равномерное. Равнодействующая внешних сил равна:

$$P = G_{\rm cr} + G_{\rm BM} - \sum_i Q_i$$
 ,

где $G_{\rm cr}$ и $G_{\rm cr}$ соответственно, вес стола и изделия, устанавливаемого на стол; Q_j —разгружающее усилие j ой пробки.

$$M_{y} = G_{cr} \times g_{c} + G_{cr} \times g_{u} - \sum_{j=1}^{m} Q_{j} \times g_{s},$$

$$M_{z} = G_{cr} \times g_{cc} + G_{crr} \times g_{cu} - \sum_{j=1}^{m} Q_{j} \times g_{sj},$$

$$l_{z}P = M_{y}, \quad l_{y}P = M_{x},$$

$$(22)$$

Тогда

$$I_{i} = \frac{G_{i1} x_{Ge} + G_{ii31} x_{Ge} - \sum_{j=1}^{m} Q_{j} x_{ij}}{G_{ei} + G_{ii31} y_{Ge} - \sum_{j=1}^{m} Q_{j} y_{0j}}$$

$$I_{i} = \frac{G_{ei} y_{Ge} + G_{ii31} y_{Ge} - \sum_{j=1}^{m} Q_{j} y_{0j}}{G_{ei} + G_{ii31} - \sum_{j=1}^{m} Q_{j}}$$
(23)

Подставляя значения l_x и l_y в (20), находим искомое выражение для распределения давлений на направляющих.

Положение центра тяжести изделия, устанавливаемого на стол станка, может изменяться. Так как данная конструкция разгрузки не предусматривает регулировку усилии разгружающих пробок при изменении веса детали или ее расположения на столе, то для уменьшения углов наклона стола в вертикальной илоскости и равномерного распределения давлений целесообразно принять:

$$G_{c} y_{0c} - \sum_{j=1}^{m} Q_{j} x_{0j} = 0;$$

$$G_{c} y_{0c} - \sum_{j=1}^{m} Q_{j} y_{0j} = 0.$$
(24)

Это соответствует совпадению центров тяжести стола и сил разгрузки направляющих. При этом будем имёть:

$$l_{x} = \frac{G_{\text{H31}} x_{Ga}}{G_{\text{C1}} - G_{\text{H31}} \cdot \sum_{j=1}^{m} - \frac{G_{\text{H3}} x_{\ell m}}{\rho}} - \frac{C_{\text{H3}} x_{\ell m}}{\rho}$$

$$l_{y} = \frac{G_{\text{H33}} y_{Ga}}{G_{\text{H33}} - \frac{m}{p}} - \frac{G_{\text{H33}} y_{Ga}}{\rho}.$$
(25)

Подставим 1, и 4 в выражение (20):

$$s = \frac{P}{F} \left[1 + \frac{G_{a+1} x_{Ga}}{P t_y^2} x + \frac{G_{ave} y_{Ga}}{P t_x^2} y \right].$$

$$z = -\left| G_{vr} - \sum_{i=1}^{m} Q_{i} + G_{vri} \left(1 + \frac{x_{Gu}}{i^{2}} x + \frac{y_{G}}{i^{2}} y \right) \right|. \tag{26}$$

Эта формула определяет распределение удельных давлений на направляющих стола, когда центр сил разгрузки от пробок совпадает с центром тяжести стола.

Полагая $\sigma = 0$ и $x = x_k$, $y - y_k$, можно вз (26) получить граничные кривые, определяющие положения центра тяжести изделия, при которых $z_{\min} = 0$. При положении центра тяжести изделия внутри кривой имеем $z_{\max} > 0$.

При $\sum_{j=1}^{m} Q_{j} = 0$, выражение (26) будет определять распределение

давлений при отсутствии разгрузки. Если известны предельные положения иситра тяжести изделия $x_{G_0}^{\text{приз.}}$ и , то из (26), полагая $\sigma = 0$, $x = x_{*}$, $y = y_{*}$, можно определить величину усилия по суммарной разгрузке направляющих

$$Q_p = \sum_{j=1}^m Q_j.$$

При этом из (26) имеем

$$Q_p = \sum_{j=1}^m Q_j = G_{cv} + G_{min} \left(1 - \frac{y_{min}^{inpert}}{f_y} - \frac{y_{G_u}^{inpert}}{f_x^2} y_k \right).$$

Паименьшее значение Q_p , получениее из этого выражения при различных значениях $x_k^{\rm npc}$, $y_0^{\rm npc}$, x_k , y_k , принимается в качестие искомого.

По напленному значению Q_μ выбираются усилия каждой из разтружающих пробок и их геометрические размеры с учетом допускаемых удельных давлений на пробки.

I реванский ч д «Станконормаль»

Поступило 4.VII 1978

M. U. UURSEPAUSUV

ՏԵՍԱԿԱՐԱՐ ՃՆՇՄԱՆ ՔԱՇԽՈՒՄԸ ՔԵՌՆԱՔԱՒՎԱԾ ՈՒՂՈՐԳՆԵՒ ՎՐԱ

Դանդաղ (սա ուն) անդարարձերը ժամանակ բարժման կայունության ապաշովումը աստացներում ներկայան ձևոր է բերել շատուկ հշանակություն, որը պայմանավորված է դետալների մշակման որակի նկա<mark>տմամր</mark> անող պահանջներով։

Տեղաչարժման կայունուիկան ապատովման ներկայումս հայտնի ձևերից առավել հեռանկարային է հանդիսանում ուղղորդների թեռնախափման ձևը, որը իրականացվում է հատուկ բեռնախափման խցանների միջոցով։ Դրանց շնորհիվ տեսակարար ճնչումները վերարաշխվում են այնոյես, որ նչանակալիորեն րարելավվում են չփման ընութագրերը և բչանում ուղղորդների մաչփածության չափը։ Բեռնաթարկվող ուժի ժեծությունը և քսյանների երկրաչափական չափերի հաշվարկը կատարվում է ըստ տեսակարար ճնչման։

ЛИТЕРАТУРА

- Мартиросян Р. С., Фролов Б. А. Повышение илипности перемещений столом горизонтально-расточных станков мялых габаритов. «Промышленность Армения», 1972, № 1.
- Мартиросян Р. С. Улучшение харэктеристик трения направляющих столов горизоптально-расточных станков малых габаритов. «Промышленность Армению, 1973, № 1.

гизчичию инд предпроворого ичины при врафицара известия академии наук армянской сср

Տեխնիկական գիտութ, սեբիա

XXXII, No 5, 1979

Серия технических наук

МАШИНОСТРОЕНИЕ

H. H. OPJIOB. T. P. CAPATEJISH

РАСПРЕДЕЛЕНИЕ АМИЛИТУДЫ УЛЬТРАЗВУКОВЫХ КОЛЕБАНИТ ПО РАБОЧЕЙ ПОВЕРХНОСТИ ПРИТИРОЧНОГО ДИСКА

Пусть притирочный диск 1 (рис. 1) толщиной *h* получает поперечные ультразвуковые колебания от волновода 2, причем притир крепится к волноводу посредством резьбового соединения Радпус притира *a*, а радиус выходного торца волновода равен *b*.

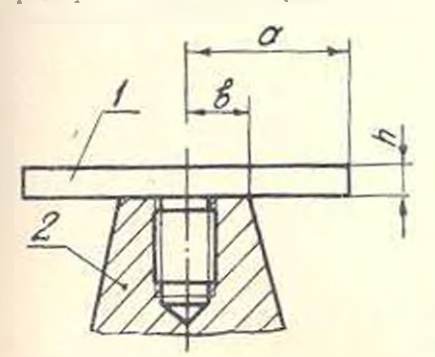


Рис. 1. Схемы паложения ультразвуковых колебаний на притир.

При допущеннях, что: а) при деформации, пормали к средниной поверхности остаются прямыми и б) пормальные напряжения на площадках, параллельных средниной поверхности, ранны нулю, дифференциальное уравнение поперечного смещения средниной поверхности полярных координатах записывается в виде [1]:

$$\frac{\partial^2 w}{\partial t^2} + \frac{Eh^2}{12(1-v^2)} \left| \frac{\partial^2}{\partial r^2} + \frac{1}{r} \cdot \frac{\partial}{\partial r} + \frac{1}{r^2} \frac{\partial^2}{\partial r^2} \right|^2 w = 0, \quad (1)$$

гле ш-ноперечное смещение точек средниной поверхности;

 h_{ℓ} ρ , v, E —толична, плотность, коэффициент Пауссона и модуль упругости материала пригира: t, E, ℓ —время, радиус и полярный угол, ный угол.

Решение уравнения (1) отыскивается в ниде $= w(r, \varphi)$ совот гле $w = 2\pi I$ круговая частота накладываемых на притир ультралвуковых колебании. После иведения обозначения $r = a\lambda$, гле λ безразмерная величина, причем 0 — 1, уравнение (1) принимает вил.

$$\left[\frac{\partial^2}{\partial t^2} - \frac{1}{t} \cdot \frac{\partial}{\partial t} + \frac{1}{t^2} \cdot \frac{\partial^2}{\partial \varphi^2}\right]^2 w - k^4 \alpha^4 = 0, \tag{2}$$

где

$$\dot{K}^3 = \frac{12(1-v^2)\,\varphi w^2\,a^4}{Fb^2} \tag{3}$$

Решение уравнения (2) отыскивается в виде $w(i,\varphi) = W(i)\cos n\varphi$, где n число возникающих на новерхности притира узловых диаметров. После подстановки, (2) распядается на два дифференциальных уравнения:

$$\frac{a^2W}{d(ki)^2} + \frac{1}{ki} \frac{dW}{d(ki)} + \left[1 - \frac{W}{(ki^2)}\right]W = 0:$$
 (4)

$$\frac{d^{2}W'}{d(k\iota)^{2}} + \frac{1}{k\iota} \cdot \frac{dW'}{d(k\iota)} - \left[1 + \frac{\kappa^{0}}{(k\iota)^{2}}\right]W' = 0, \tag{5}$$

Решениями уравнения (4) являются функции Бесселя норядка и первого $J_n(ki)$ и второго $Y_n(ki)$ рода, а уравнения (5)—функции Бесселя от мнимого аргумента первого $I_n(ki)$ и второго рода $K_n(ki)$ Следовательно, распределение амилитуды УЗК по рабочей новерхности притира в общем случае имеет вид:

$$= [C_1 I_n(ki) + C_2 Y_n(ki) + C_3 I_n(ki) + C_4 K_n(ki)] \cos n\varphi, \tag{6}$$

где C_1 , C_2 , C_3 , C_4 —постоянные интегрирования.

Значения функций Бесселя можно рассчитывать по известным формулам [2]:

$$J_{0}(x) = 1 - \left(\frac{1}{2}x\right)^{2} + \frac{\left(\frac{1}{2}x\right)^{4}}{1^{2} \cdot 2^{2}} - \frac{\left(\frac{1}{2}x\right)^{4}}{1^{2} \cdot 2^{2} \cdot 3^{2}} + \frac{\left(\frac{1}{2}x\right)^{8}}{1^{2} \cdot 2^{2} \cdot 3^{2} \cdot 4^{2}} - \cdots$$

$$J_{1}(x) = \frac{1}{2}x - \frac{\left(\frac{1}{2}x\right)^{3}}{1^{2} \cdot 2} + \frac{\left(\frac{1}{2}x\right)^{8}}{1^{2} \cdot 2^{2} \cdot 3} - \frac{\left(\frac{1}{2}x\right)^{7}}{1^{2} \cdot 2^{2} \cdot 3^{2} \cdot 4} + \frac{\left(\frac{1}{2}x\right)^{9}}{1^{2} \cdot 2^{2} \cdot 3^{2} \cdot 4} - \cdots$$

$$J_{0}(x) = 1 + \left(\frac{1}{2}x\right)^{2} + \frac{\left(\frac{1}{2}x\right)^{4}}{1^{2} \cdot 2^{2}} + \frac{\left(\frac{1}{2}x\right)^{6}}{1^{2} \cdot 2^{2} \cdot 3^{2}} + \frac{\left(\frac{1}{2}x\right)^{8}}{1^{2} \cdot 2^{2} \cdot 3^{2} \cdot 4^{2} \cdot 5} + \cdots$$

$$J_{1}(x) = \frac{1}{2}x + \frac{\left(\frac{1}{2}x\right)^{3}}{1^{2} \cdot 2^{2}} + \frac{\left(\frac{1}{2}x\right)^{5}}{1^{2} \cdot 2^{2} \cdot 3} + \frac{\left(\frac{1}{2}x\right)^{7}}{1^{2} \cdot 2^{2} \cdot 3^{2} \cdot 4} + \frac{\left(\frac{1}{2}x\right)^{9}}{1^{2} \cdot 2^{2} \cdot 3^{2} \cdot 4^{2} \cdot 5} + \cdots$$

$$Y_{0}(x) = \frac{2}{\pi}\left(C + \ln\frac{x}{2}\right)J_{0}(x) + \frac{2}{\pi}\cdot\frac{\left(\frac{1}{2}x\right)^{7}}{(1!)^{2}} - \frac{2}{\pi}\cdot\frac{\left(\frac{1}{2}x\right)^{4}}{(2!)^{2}}\left(1 + \frac{1}{2}\right) + \frac{2}{\pi}\cdot\frac{\left(\frac{1}{2}x\right)^{9}}{(3!)^{2}}\left(1 + \frac{1}{2} + \frac{1}{3}\right) - \cdots$$

$$Y_{1}(x) = \frac{2}{\pi}\left(C + \ln\frac{x}{2}\right)J_{1}(x) - \frac{2}{\pi} - \frac{1}{\pi}\sum_{p=0}^{\infty}\frac{(-1)^{p}}{p!(p+1)!}\left(\frac{x}{2}\right)^{2p+1}\left\{2\left(1 + \frac{1}{2} + \cdots + \frac{1}{p}\right) + \frac{1}{p+1}\right\};$$

$$K_{b}(x) = -\left(C + \ln\frac{x}{2}\right)I_{0}(x) + \frac{\left(\frac{1}{2}x\right)^{2}}{(1!)^{2}} + \frac{\left(\frac{1}{2}x\right)^{4}}{(1!)^{2}}\left(1 + \frac{1}{2}\right) + \frac{\left(\frac{1}{2}x\right)^{6}}{(3!)^{2}}\left(1 + \frac{1}{2} + \frac{1}{3}\right) + \cdots$$

$$K_{1}(x) = \left(C + \ln\frac{x}{2}\right)I_{1}(x) - \frac{1}{2}\sum_{n=0}^{\infty} \frac{1}{p!(1+p)!}\left(\frac{x}{2}\right)^{2p+1}\left\{2\left(1 + \frac{1}{2} + \dots + \frac{1}{p}\right) + \frac{1}{p+1}\right\},$$

где C=0,5772157—постоянная Эйлера

Для определения постоянных интегрирования C_1 , C_2 , C_3 , C_4 предлагается следующая классификация возможных конструкций закрепления притира (рис. 2). Вследствие того, что присоединение не должно виосить рассогласования в акустическую систему «магинтострикционный преобразователь—волновод», притир может быть закреплен либо в точках пучностей волновода (рис. 2а. б), либо в точках узлов (рис.

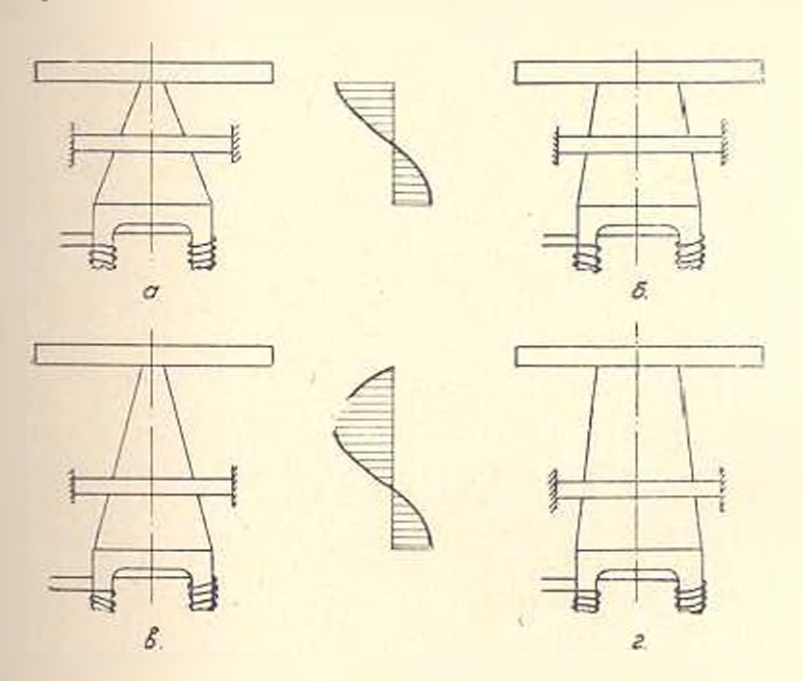


Рис. 2. Возможные парианты крепления притира к волиоводу.

2в, г). Причем, если $b \le 0.1$ а (рис. 2а, в), то колебания притира с достаточной точностью описываются колебаниями свободной пластины и тогда $C_2 = C_1 = 0$ [3], а при 0.1 a < b < a (рис. 2б. г) — колебаниями кольневой пластины.

При работе по схемам, приведенным на рис. 2a, б. форма колебаний притира не имеет узловых диаметров. т. е. возможны только узловые

окружности, а на рис. 2в, г возможны только формы колебаний притира с узловыми дламетрами. Поэтому имеют место следующие случаи распределения амплитуды УЗК по рабочей поверхности притира:

1-й случай (рис. 2a) —
$$w = C_1 J_0(ki) + C_2 J_0(ki);$$
 (6.1)

2 й случай (рис. 26) —
$$w = C J_0(ki) + C_2 F_0(ki) + C_3 I_0(ki) + C_4 K_4(ki)$$
 (6.2)

3-й случай (рис. 2в)
$$= [C_1 J_n(ki) + C_4 I_n(ki)] \cos n =$$
 (6.3)

1-й случай (рис. 2r) - формула (6).

Постоянные интегрирования C_1 , C_2 , C_3 , C_4 определяются из граничных условий. На наружном контуре притира ($\lambda=1$) должны выполняться равенства:

$$M_r = 0; (1)$$

$$V = Q_r - \frac{\partial M_{r_t}}{\ell dz} = 0, \tag{8}$$

где М., М. — изгибающий и крутящий моменты: Q., V — поверечная и обобщенияя поперечная силы.

Величины, входящие в (7) и (8), могут быть определены яз формул [4]:

$$M_r = -D \left[\frac{D^2 w}{\partial r^2} + v \left(\frac{1}{r} + \frac{\partial w}{\partial r} + \frac{1}{r^2} - \frac{\partial^2 w}{\partial r^2} \right) \right], \tag{9}$$

$$Q_r = -D\frac{\sigma}{\sigma r} \left[\frac{\sigma^2 w}{\sigma r^2} + \frac{1}{r} + \frac{\partial w}{\partial r} + \frac{1}{r^2} - \frac{\partial^2 w}{\partial \phi^2} \right]$$
 (10)

$$\mathcal{M}_{r_{\perp}} = (1 - v) D\left(\frac{1}{2} - \frac{\partial^2 w}{\partial r dz} - \frac{1}{r_{\perp}} - \frac{\partial w}{\partial z}\right) \tag{11}$$

где $D = \frac{Eh^3}{12(1-y^2)}$ —пилиндрическая жесткость.

Еще два уравнения могут быть определены на условий на внутреннем контуре притира $(\lambda = b/a)$. Обычно в литературе они записываются в виле:

$$w = 0; (12)$$

$$\frac{\partial w}{\partial r} = 0. \tag{13}$$

Однако, как видно из рис. 2, уравнение (12) справедливо лишь для случаев закрепления притира в узловых точках волновода. Для случаев 1 и 2 можно предложить вместо (12) пользоваться уравнением

$$w = A$$
, (11)

г is A - амилитуда колебаний выходного торна волновода.

Рассмогрим—в качестве наиболее простого примера—определение нестоянных интегрирования для 1-го случая, т. е. при $b \leqslant 0.1\,a$ и закреплении притира в пучности волновода.

Таблица

Подставляя уравнение (6.1) в (9), (10) и (11), а полученные значения M_{\star} , Q_{\star} и M_{\star} —в (7) и (8), получаем:

$$-C_{1}[kJ_{0}(k) - (1-v)J_{1}(k)] + C_{3}[kI_{0}(k) - (1-v)J_{1}(k)] = 0; \quad (15)$$

$$C_1 J_1(k) + C_3 I_1(k) = 0.$$
 (16)

При этом используются правила дифференцирования функций Бесселя:

$$\frac{d}{dx}J_{\nu}(x)=\frac{d}{x}J_{\nu}(x)-J_{\nu-1}(x):$$

$$\frac{d}{dx} I_n(x) = \frac{\pi}{x} I_n(x) + I_{n-1}(x).$$

Исключением из (15) и (16) C_1 и C_4 , приходим к ураниению:

$$\frac{J_0(k)}{J_1(k)} - \frac{I_0(k)}{I_1(k)} = \frac{2(1-\nu)}{k}$$
 (17)

Для у 0.25 (материал притира—чугун) первые четыре кория (17) равны: $k_1 = 2.982$; $k_2 = 6.192$: $k_3 = 9.362$; $k_4 = 12.519$. Каждын ил корней k_4 физически характеризует частоту колебаний притира с количеством узловых окружностей, равным ℓ .

После подстановки k_i в (15) и (16), эти уравнения вырождеются в одно, а уравнение (13) выполняется тождественно. Здесь становится очевидным значение введенного пами уравнения (11), которос в данном случае записывается в виде:

$$C_1 J_0(v) - C_3 I_0(0) = A.$$

причем, вследствие того, что $J_0(0) = 1$ и $J_0(0) = 1$. имеем $C_1 + C_3 = A$. На основании последнего уравнения, выродившегося в одно уравнение (15) и (16), получаем значения постоянных интегрировании C_1 и C_2 , приведенные в таблице.

Постоянные интегрирования для схемы на рис. 2а

 К
 С1
 С3

 2,982
 1,0965 A
 0,0965 A

 6,192
 0,9963 A
 0,0032 A

 9,362
 1,00013 A
 0,09013 A

 12,519
 0,9999944 A
 0,000056 A

По данным габлицы и уравнению (6.1) построены кривые распределения амилитуды наложенных на притир УЗК вдоль его радпуса (рис. 3).

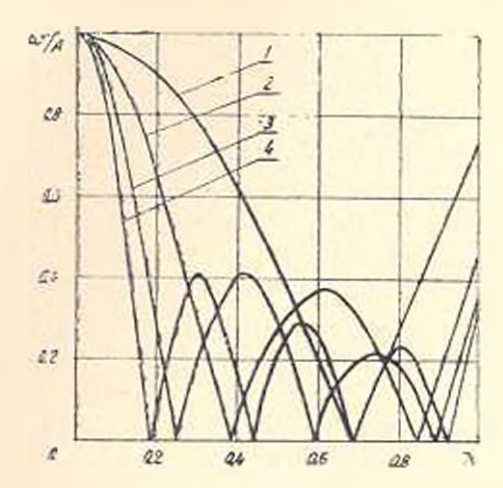


Рис. 3. Распределение амплитуды УБК для случая на рис. 2а при одной (1), двух (2), трех (3) и четырех (4) узловых окружностях.

Предложенная методика дает возможность прогнозировать величину съема обрабатываемого материала при ультразвуковой доводке. Съем определяется в виде:

$$Q = \mu \sum_{i=1}^{m} K_i L_I, \tag{18}$$

д: K_1 интенсивность изнашивания при j-том дискретном значении амилитуды УЗК, числению равная массе удаленного материала заготовки при ее перемещении по поверхности притира на 1 мм; L_1 —длина дуги контакта заготовки с областью вритира, имеющей j-тое дискретное значение амилитуды УЗК; m—количество дискретно различающихся значений амилитуды УЗК, μ —количество повторяющихся инклов.

Интенсивность изнанивания обрабатываемого материала K_i может быть определена для фиксированных значений давления, рода и зериистости абразива, материала притира и г. д. нутем моделирования на специальном стенде, позволяющим накладывать на один из элементов изнашиваемой пары УЗК с данным *i*-тым значением амилитуды.

Если известна траектория движения заготовки по притиру и раднусы, ограничивающие данное j-тое значение амилитуды УЗК, то длина дуги контакта L_j может быть определена известными методами [5].

Паложенная методика определения амплитуды УЗК для любой точки притира впедрена на Аранписком производственном объединения «Кристалл» для назначения режимов ультра вуковой доводки изделий из монокристаллического корупда.

4, ու մբյակ, 2, մ. ՈՄՂԱԲայենա

ԿԻՊԱՀՆԻՉ ՍԿԱՎԱՌԱԿԻ ԲԱԵՎՈՐԱԿԱՆ ՄԱԿԵՐԵՎՈՒԶԲԻ ՎՐԱ ՈՒԼՏՐԱՉԱՅԵԱՅԻՆ ՏԱՏԱՆՈՒՄԵՍՐԻ ԱՄՊԼԵՏՈԿԻ ԲԱՇԵՈՒՄԸ

Ut din din cid

Կիպամղկիլի բանվորական մակերևուլթի վրա ուլարաձայնային ատտանումների ամպլիտուդի բաշխումը որոշվում է արտաթին պարազձով ազատ կլոր սալիկի տատանումների դիֆերենցիալ Տավասարման լուծումից։ Առաարկված է կրպահղկիլի՝ ալիրատարին ամրացնելու պայմանների դասակարդում։

Տրված է թանաձև հաշվարկելու մշակվող նյունի հանման չափը ըստ մաշման ինտենսիվության և հպման աղեղների երկարության այն տիրույթների հետ, որոնը ունեն ուլարաձայնային տտաանումների ամպլիտուգի տրված դիսկրետ արժեթը։

ЛИТЕРАТУРА

- Southwell R. V. On the free vibrations of a uniform circular disc clamped at its centre and on the effect of rotation. Proc. Roy. Soc. of London (A), 1922 v. 101, p. 133.
- Двайт Г. Б. Таблины интегралов и другие математические формулы. М., «Наука». 1978. с. 161—169.
- 3. Гонткевич В. С. Собственные колебания пластинок и оболочек. Киев, «Науковадумка», 1964. с. 35—57.
- 4. Тимошенко С. П. Пластивки и оболочки, М.—.1.. Гостехиздат, 1948, с. 250.
- Орлов П. И. и др. Доводка пренизновных деталей машил. М., «Машиностроение», 1978, с. 134—154.



СТРОИТЕЛЬНАЯ МЕХАНИКА

В. А. АМБАРНУМЯН

ОБ ОДНОМ МЕТОДЕ ОПРЕДЕЛЕНИЯ ЧАСТОТ И ФОРМ СВОБОДНЫХ НЕЛИНЕПНЫХ КОЛЕБАНИИ КАРКАСНЫХ ЗДАНИП

Для определения частот и форм свободных нелинейных колебаний систем со многими степенями свободы обычно используются асимптотические методы [1, 2]. Они применимы для систем, характер деформирования которых достаточно близок к линейнов зависимости. Вслеяствие этого функцию, определяющую закон нелинейного деформирования, удается разложить в степсиной ряд, содержащий малык параметр. При решении задачи принимается, что формы нелинейных колебаний пропорциональны соответствующим формам линейных колеблияй. Анадитическое исследование колебаний произвольных пеливейно-деформируемых систем представляет значительные математические трудности. Многомассовые системы, для которых неприменим асимптотический мегод, исследованы в работах [3, 4]. Решение получено с помощью потенинальной функции, использованием свойств геодезических липий в пространстве.

В данной статье определены точные значения частот и форм свободных нелинейных колебаний многомассовых систем, которые являются расчетными схемами многоэтажных каркасных зданий. Применяет ся метод, представляющий обобщение метода, используемого Дуффингом при исследовании систем с одной степенью свободы [5].

Рассмотрим свободные колебания многоэтажного здания, масса которого сосредоточена на уровнях перекрытий. Принимается, что зависимость между напряжением о и относительной деформацией в имест вид степенной функции:

$$z = B[\varepsilon]^{\mu - 1} \varepsilon, \qquad u = \frac{1}{r}, \quad r = 1, 2, 3,$$
 (1)

тле B > 0, y = 1—постоянные, При y = 1, B = E, E—модуль упругости. Уравнения динжения рамной системы с недеформируемыми ригелями имеют вид [6]:

$$m_i y_i + a_{ir}(y_i - y_{i-1})^r - a_{i+1,r} (y_{i+1} - y_i)^T = 0,$$

$$i = 1, 2 \cdots n, \quad y_0 = 0, \quad 0,$$
(2)

где m_i масса, сосредоточенная на уровне i-го этажа: y_i , y_i перемещение и ускорение i-ой массы: a_i жесткость i-го этажа при нелинейном деформировании:

$$a_{t} = \frac{(r+2)^{\frac{1}{r}} \cdot 2^{\frac{r-1}{r}} \sum BJ_{kr}^{(i)}}{H_{t}^{r}}, \quad \text{при } r = 1, \quad a_{i1} = \frac{1}{H_{t}} \sum_{k=1}^{S} EJ_{k1},$$

 H_t высота i-го этажа; s количество стоек этажа; $J_{kr}^{(i)}$ — обобщенный момент инерции k-ой стойки i-го этажа. При прямоугольном сечении колони с размерами поперечного сечения b и h, J, определяется выражением [7]:

$$J_r = \frac{bh^2}{\frac{2r+\frac{1}{r}}{2}\left(1+\frac{1}{2r}\right)}$$
, npn $r = 1$, $J_t = \frac{bh^4}{12}$.

Уравнения (2) имеют место при г нечетном. При четном г восстанавливающая сила должна быть представлена в виде, аналогичном (1)

Определим периоды и соответствующие им формы свободных колебаний данной системы. Как и в линейных системах, формы колебаний ислинейной системы характеризуются тем, что все массы колеблются с одним и тем же периодом и проходят через положение равновесия одновременно. Тем самым, следуя Р. Розенбергу [4], принимается, что формы колебаний линейной и нелинейной систем имеют одинаковые свойства.

Для решения задачи представим (2) в виде:

$$\frac{d(y')}{dy_i} = -2 \frac{a_{i-1}}{m_i} (y_i - y_{i-1})^{\frac{1}{r}} - 2 \frac{a_{i-1}}{m_i} (y_{i-1} - y_i)^r, \ i = 1, 2, \dots, n.$$
(3)

Интегрируя (3), при начальных условиях $y_i(0) = C_i$, $y_i^1 0 = 0$, получим:

$$x^{2} = -2 \frac{a_{i_{1}}}{m_{1}} \int_{0}^{y_{1}} (y_{1} - y_{i-1})^{\frac{1}{2}} dy_{i-1} + 2 \frac{a_{i-1}}{m_{i-1}} \int_{0}^{y_{i}} (y_{i-1} - y_{i})^{\frac{1}{2}} dy_{i}, i = 1, 2, \dots, n.$$

$$(4)$$

Обозначая — — 71 и учитывая, что при одночастотных колебаниях ? представляется величиной постоянной, получим.

$$\begin{aligned} y_i^{2} &= -2\frac{a_{ir}}{m_i} \frac{r}{1+r} \left(1 - \frac{\gamma_{i-1}}{\gamma_i}\right)^{\frac{1}{r}} \left(y_i^{\frac{1}{r}-1} - C_i^{\frac{1}{r}+1}\right) + \\ &+ 2\frac{a_{i-1,r}}{m_{i+1}} \cdot \frac{r}{1+r} \left(\frac{\gamma_{i+1}}{\gamma_i} - 1\right)^{\frac{1}{r}} \left(y_i^{\frac{1}{r}+1} - C_i^{\frac{1}{r}+1}\right), \ i = 1, \ 2_* \cdots * n_* \end{aligned}$$

Разделяя исременные и интегрируя по t от t=0 до t=774 - и по y_t от $y_t=0$, до $y_t=0$, получим:

$$\frac{T}{4} = \frac{\int_{0}^{1} \frac{du}{\sqrt{(1-u^{\frac{1+r}{r}})}}}{\sqrt{2\frac{r}{1+r} \left[\frac{a_{ir}}{m_{i}} \left(1-\frac{\gamma_{i-1}}{\gamma_{i}}\right)^{1/r} - \frac{a_{i+1,r}}{m_{i+1}} \left(\frac{\gamma_{i+1}}{\gamma_{i}}-1\right)^{1/r}\right]} \cdot C^{\frac{1-r}{2r}}, (6)$$

где T период нелинейных колебаний Обозначая

$$\frac{1}{h} = \left(\frac{T\sqrt{\frac{2}{1+r} \cdot \frac{a_{1r}}{m_1}}}{\frac{r+1}{4IC_n^{\frac{r+1}{2r}}}}\right)^2; \int_{0}^{1} \frac{du}{\sqrt{1-u^{\frac{1+r}{r}}}} = 1,$$

$$a_{1r} = a_{1r} \cdot a_{1r}, \quad m_1 = m_1 \cdot n$$
(7)

и имея ввиду, что $C_{1}^{-1} = \frac{1-r}{r} \cdot C_{n}^{1-r}$

получим:

$$\lambda = \left[\frac{\eta_{\ell}}{\mu_{\ell}} \left(\gamma_{\ell} - \gamma_{\ell-1} \right)^{\mu_{\ell}} - \frac{\eta_{\ell-1}}{\mu_{\ell+1}} (\gamma_{\ell+1} - \gamma_{\ell})^{\mu_{\ell}} \right] - \frac{1}{\gamma_{\ell}}, \quad \ell = 1, 2, \dots, n. \quad (8)$$

В данной системе уравнений входят неизвестные значения периода (выраженного через λ) и соответствующие коэффициенты формы колебаний γ. Уравнение для определения периодов колебаний получим, воспользовавшись граничным условием

$$\gamma_0 = y_n/y_n = 0. \tag{9}$$

Пэ (8), при i = n, получим

$$\gamma_{n-1} = 1 - \lambda^r \left(\frac{\mu_n}{\alpha_n}\right)^r$$

при этом имелось ввиду, что

$$\gamma_n = 1; \ \alpha_{n+1} = 0.$$

Из системы (8) реккурентным способом определяем:

$$\gamma_{i-1} = \gamma_i - \left(\frac{p_i}{p_i}\right)' \left[\frac{\alpha_{i+1}}{p_{i+1}} \left(\gamma_{i+1} - \gamma_i\right)^{1/r} + \lambda \gamma_i\right]'$$
 (10)

Уравнение (9) в раскрытом виде имеет вид:

$$\gamma_0 = \gamma_1 - \left(\frac{p_1}{\alpha_1}\right)^r \left[\frac{\alpha_2}{\hat{\mu}_2} (\gamma_2 - \gamma_1)^{1/r} + \lambda \gamma_1\right]^r = 0,$$
(11)

где γ_1 γ_2 и вообще γ_1 определяются с помощью (10). С помощью (11) определяются значения λ_1 через которые выражаются значения периодов j-ой формы:

$$T_{j} = 4I / \frac{1+r}{2r} \frac{m_{j}}{a_{1r}} \frac{1}{r_{j}} \cdot C_{n-j}^{-1}. \tag{12}$$

После определения л. коэффициенты ј ой формы колебаний да вычисляются с помощью (10).

Нэложенный метод определения периодов и форм колебаний применим и при линейных колебаниях, т. е. в случае r = 1. Формула (12) показывает характерную для нелинейных систем зависимость периода от амплитуды колебаний. Период колебаний зависит только от амплитуды перемещения одного этажа (в данном случае n-го), так как форма колебании уже является определенной.

Нами были определены r, и — 1, 2, 3 для миогоэтажных зланий, при равных значениях сосредоточенных масс и жесткостей этажей, т. е. при z_i — $p_i = 1$. Вычисления проводились при r = 3. В отличие от случая линейных колебаний, алгебранческое уравнение (11) имеет степень больше n. При этом, степень уравнения (11) зависит от параметра нелинейного деформирования r. Однако, численное исследование уравнения (11) показало, это также имеются n действительных значений $r_i, j = 1, 2, \dots$ и и соответствующие им n форм колебаний. Как и при линейных колебаниях, первая форма не имеет узловой точки, вторая имеет одну узловую точку и т. д. Полученные значения λ_i , j = 1, 2, 3 приведены в табл.

Корин урав. (11)

Ταδιιμμα

Этаж- пость	14	Y.3	λ_{3}
2	0.50999	1,42	
3	0.3328	1,23591	1,475
4	0,24009	0,90591	1.4387
4 5	0,18459	0.7118	1,2575
6	0,14809	0.6117	1.1756
7	0.12249	0,5312	11,92461
8	J.10399	0,4359	0,749
Ú	0.08911	0,39899	0,61721
10	0,078	C.31157	0,58998

Значение определенного натеграла I, входящего в формулу (12), определяется выражением [8]:

$$\int_{0}^{1} \frac{du}{\sqrt{1-u^{\frac{1+r}{r}}}} = \frac{r\sqrt{\pi}}{1+r} \frac{\Gamma\left(\frac{r}{1+r}\right)}{\Gamma\left(\frac{1+3r}{2+2r}\right)},$$
(13)

гле Γ (r)—гамма функция (таблицы значений Γ (r) имсются в [9]). Чтобы оценить значения периодов нелинейных колебаний, необходимо выразить жесткость нелинейно-деформируемой системы a, (r=3) через соответствующую жесткость линейной системы a. Для этой цели была проведена аппроксимация зависимости σ — ϵ для малоуглеродистой стали [10] (в области $0 < \epsilon < 6 \cdot 10^{-3}$) степенной функцией вида (1). Получилось, что $E = 2 \cdot 10^4 \ \kappa z/c M$, τ , ϵ , e = — e В случае, когда все стой-ки этажа имеют одинаковые поперечные сечения и H/h 10, получим:

$$a_3 = a_1 \frac{B}{E} \cdot \frac{H^{1/4}}{h^{2/4}} \cdot 0.73 = 0.034 \cdot a_1 \cdot H^{2/3}.$$
 (14)

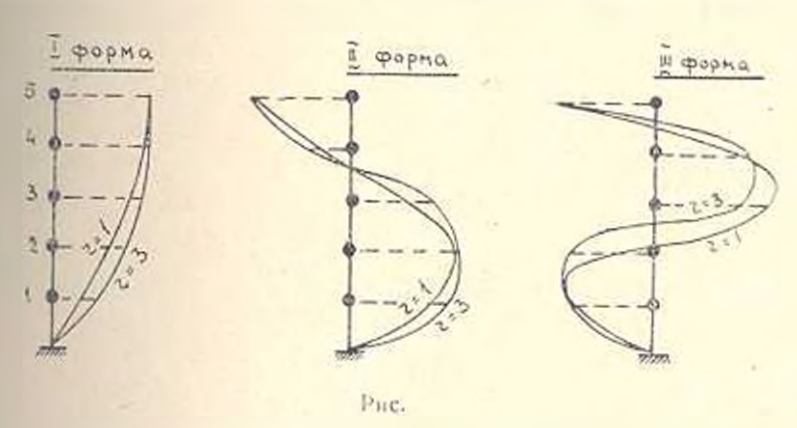
Аля системы с одной степснью свободы период нелинейных колебаний определится выражением:

$$T_{(r-1)} = T_{(r-1)} \cdot 5.04 \left(\frac{y_0}{H}\right) \cdot$$
 (15)

113 (15) следует, что при $y_nH=1/128$ периоды нелинейных и липейных колебаний совпадают. При меньших значениях $\frac{y_n}{H}=T_{(r-3)} < T_{(r-1)}$. Это объясняется тем, что при малых деформациях жесткость нелинейной системы больше, чем жесткость линейной, а при больших деформациях $[--->\frac{1}{12}]$ наоборот и поэтому $T_{(r-1)}$ тиэтажного здания, период 7-ой формы определится выражением:

$$T_{j}(r=3) = T_{j}(r=1) \cdot \left(\frac{c}{5\pi i}\right)^{1} K_{j}, K_{i}=5.71, K_{o}=8.461, K_{s}=9.911.$$
 (16)

Здесь использованы значения T_{j} (r=1), приведенные в [11]. Как и в случае системы с одной степенью свободы, T_{j} (r=3) могут быть как больше, так и меньше T_{j} (r=1). Так, например, при $\frac{C}{5H}$ $\frac{1}{186}$ T_{j} $(r=3) = T_{j}$ (r=1), а при $\frac{C}{5H}$ $\frac{1}{180}$ T_{j} $(r=3) \le T_{j}$ (r=1). При второй и третьей формах T_{j} (r=3), T_{j} (r=3) становится большей T_{j} (r=1), T_{j} (r=1), соответственно, при $\frac{C}{5H} > \frac{1}{605}$ и $\frac{C}{5H} = \frac{1}{9}$ $\frac{1}{5}$



Формы колебании пятиэтажного здания построены на рис., откуда видна плентичность характеров деформирования линейной и ислинейной систем при колебаниях по одному и тому же гону.

Apw HHHICA

Поступило 15 А1.1978.

4. U. BUTPHERAFBRIG

ԿԱՐԿԱՍԱՅԻՆ ՇԵՆՔԵՐԻ ԱԶԱՏ ՈՉ ԳԾԱՅԻՆ ՏԱՏԱՆՈՒՄՆԵՐԻ ՉԵԼԵՐԻ ՈՒ ՀԱՃԱԽԱԿԱՆՈՒԹՅՈՒՆԵՐԻ ՈՐՈՇՄԱՆ ՄԻ ՄԵԹՈԳԻ ՄԱՍԻՆ

Had don don rad

Որոշվա և բազմաքարկ կարկասուի է բիր աղատ, ոլ դծայի տա տատանումների Տաձախականուն ունների և տատանման ձևերի ակիցձոգրիտ ժեծունյունները այն դեպրում, երբ լարման և հարաբերական որում կապը արտահայտվում է աստիձանա ֆունկցիայի տես-

Խնդիրը ուժված է շարժվան հավասարումների անմիջական ինտեղրուվով։

ЛИТЕРАТУРА

- 1. Боголюбов И. И. Митропольский Ю. А. Асимптотические метолы в теории неличейных колебаний. М., «Илука», 1974
- 2. Імбарцияля В. Л. О перяодах нелянейных колеблий каркасных здании Навестня АН АрмССР (серия Т. П.)», т. XXIV, № 1, 1971.
- 3. Розеноер: Р. М. О формах колебаний пормального типа келинейных систем с звумя степенями свободы. Сб. переводов Механика». № 5, 1961
- 4. Розенбере Р. М. Нормальные формы колебаний пеланейных систем с и стеценями свободы. «Тр. Амер. общ. виж.-мех. сер. Е. Прикл. мех.», т. 29, № 1, 1962.
- 5. Тамошинко С. П. Колебания в ниженерном деле М., «Наука», 1967.
- 6 Амбарцияни В. А. К вопросу расчета стержиевых систем на сейсмические воздеметвия при нелинейном законе упругости. Исследопания не динамике и сейсмостойкости сооружений. Научи, сообщ. АНСМ, вып. 19, Преван, 1972.
- Качанов Л. М. Расчет стержней с учетом пластичности и полаучести. Спр. «Прочность, устойчивость, колебани », том 1. М. «Машиностроение», 1968.

- 8 Градштейн Н. С., Рыжак Н. М. Таблицы интегралов, сумм, рядов и произведений, М., Физматтие, 1962
- 9. Янке Е., Эмде Ф., Леш Ф. Спечиальные функции М., «Наука», 1968.
- Поможарео С. Д., Бидерман В. Л. и др. Расчеты на прочидств в машиностроении. том 11. М. Маштил, 1958.
- Хачиян Э. Е., Гороян Т. А. Рекомендации по опрезелению периодов и форм колебаний каркасных здании. Греван, Изд. АИСМ, 1970.

Տեխնիկական գիտութ, սեբիա

XXXII, No 5, 1979

Серия технических наук

ИЗМЕРИТЕЛЬНАЯ ТЕХНИКА

В Р ВАРДАНЯН

ДИФФЕРЕНЦИАЛЬНЫЕ ТОРОИДАЛЬНЫЕ РЕЗОНАТОРНЫЕ ДАТЧИКИ ДАВЛЕНИЯ

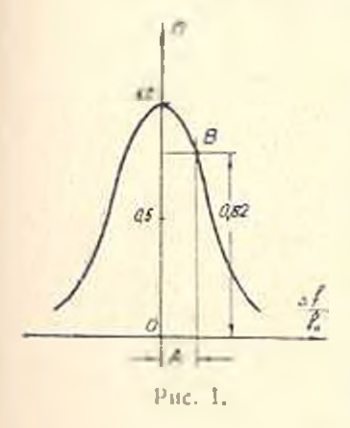
В настоящее время для измерения давлений ударных воли в газах и жилкостях преимуществение применяются пьезоэлектрические датчики. Они, обеспечивая высокое быстроденствие, имеют ряд недостатков [1].

Торондальные резонаторные датчики по сравнению с пьезоэлактрическими преобразователями выгодно отличаются тем, что имея простую конструкцию, высокую чувствительность и жесткость, легко изготавляются и градупруются в статическом режиме на обычных гидропрессах [2, 3].

Регистрация давлений быстропротекающих процессов связана с применением датчиков, имеющих чувствительные элементы с высокой собственной частотой. Это всегда связано с некоторым уменьшением отмосительной деформации, т. с. потерей чувствительности датчика. Так как торондальные резонаторы нозволяют получить большие нагруженные добротности (порядка 1000 ÷ 4000) [4], то выполнение быстродействующих датчиков при их помощи не представляет трудности.

Реализация торондальных резонаторных датчиков давления возможно либо деформацией верхней крышки резонатора [2]. либо—пи-

линдрической стенки корпуса [3].



Собствения частота полого резонатора, эквивалентизя резонансной частоте колебательного контура, зависит от размеров и формы резонатора и определяется по известным формулам [2, 4]. Приведенная на рис. 1 зависимость относительных изменений выходного напряжения и от частоты $\Delta f f_0$ совпадает с резонансной кривой колебательного контура. Для регистрации давления и разрежения, например, давления воздушных ударных воли (ДВУВ) необходимо рабочую точку подобрать в левой или правой части

резонансной кривой. Изменением места рабочей точки можно в широком пределе изменять чувствительность датчика.

При изменении температуры резонатора, из-за изменения его размеров, на характеристике перемещается также рабочая точка. Для повышения термостабильности можно применить такие резонаторы, где подбором материалов конструкции осуществляется термокомпенсания [5].

Увеличение термостабильности и значительное уменьшение погрешностей с распирением возможных пределов изменения частот достигается при применении дифференциальных торондальных резонаторных датчиков давлений и ускорений [6], конструкции которых показаны нарис. 2, a, б.

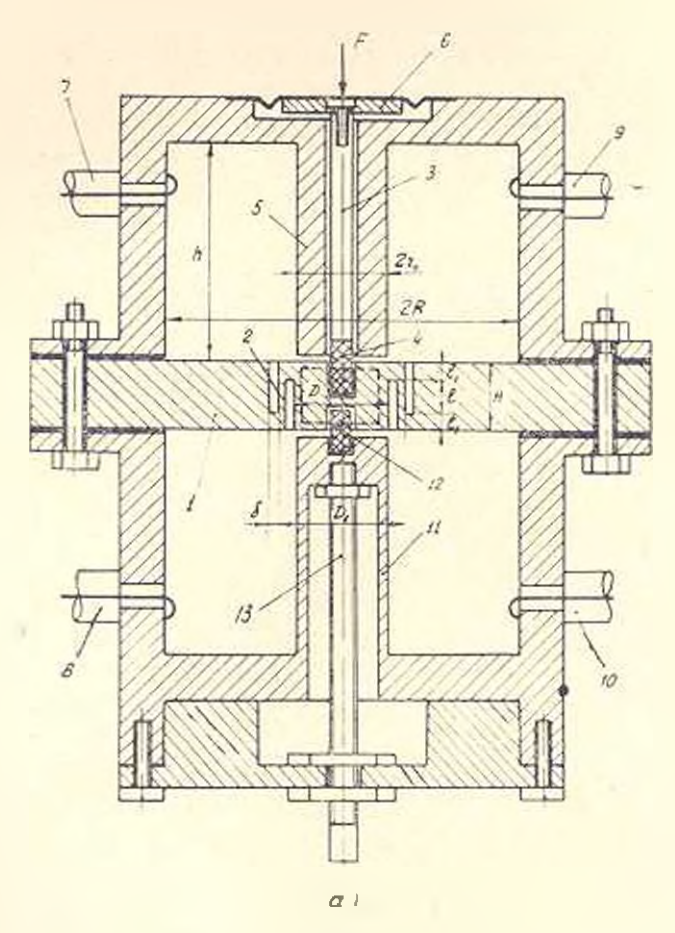
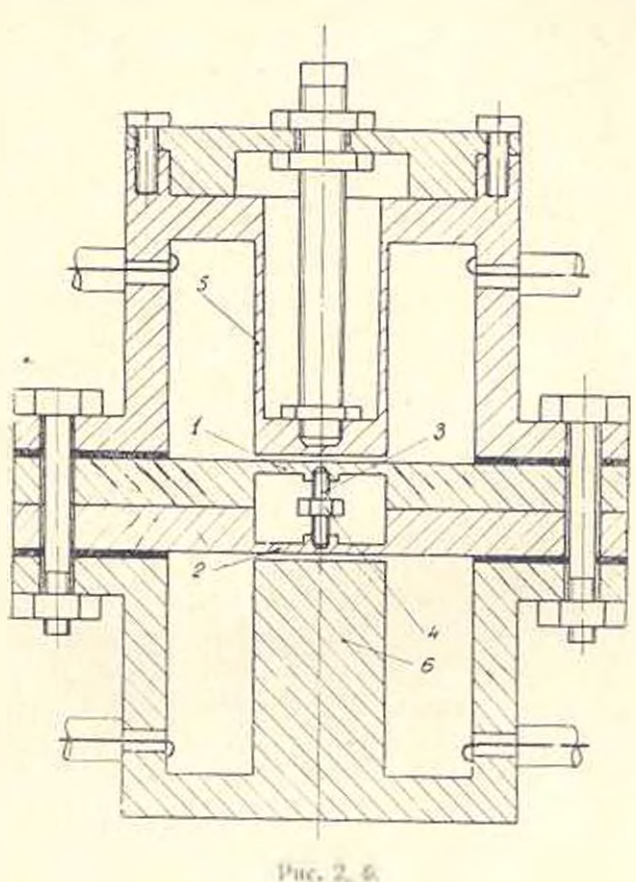


Рис. 2, а.

Дифференциальный торондальный датчик (рис 2, а) по сравнению с обычным резонаторным датчиком [2, 3], имея высокую гермостабильность, позволяет получить в два раза большую чувствительность. Выбранная конструкция сплопередающей системы позволяет значительно уменьшить плошадь контактируемой поверхности с объектом и более точно измерить ДВУВ, соответствующее данной точке пространства.

Устранением силопередающей системы на рис. 2, а и используя ускоренное движение инерционной массы, сосредоточенной в центре перегородки, можно получить дифференциальный датчик ускорений.



Значительное упрощение конструкции датчика ускорений, с более высокими частотными свойствами и большой чувствительностью, получаются при выполнении дискообразной перегородки из двух частей (рис. 2, б).

Выходы дифференциальных датчиков (рис. 2. а, б), исобходимо полключить к балансному усилителю постоянного тока. Проведенные измерения показали, что очень большая чувстинтельность способствует созданию быстроденствующих датчиков, без применения усилителей. Для устранения дрейфа можно питание резонаторных датчиков проилвести модулированными СВЧ сигналами.

В лифференциальных резонаторных датчиках значительно увеличивается линейность, уменьшается погрешность измерения и расширяются допустимые пределы относительного изменения частоты. В этом легко убедиться, проацализирован выражение относительного значения выходного напряжения [2]. Максимальное приращение выходного напряжения получается, когда рабочая точка В на резонансной кривой (рис. 1) будет находится на уровне n = 0.82. Для одного резонатора выражение относительного значения выходного напряжения рабочей точки В можно представить и виде:

$$n = \frac{U_{\text{max}}}{U_{p, \text{ Mr.}}} = \frac{1}{\sqrt{1 + (2Q_n)^2 \left(A + \frac{\Delta f}{f_0}\right)^2}} = \frac{1}{\sqrt{1 + (2Q_n A)^2 \left(1 + \frac{\Delta f}{Af_0}\right)^2}},$$
(1)

где U— нагруженияя добротность резонатора; $U_{\rm pc}$ — максимальное напряжение при резонансе; M—резонаненая частота резонатора и се приращение; A—абсинеса рабочей точки B.

Для случая n = 0.82 множитель $(2 Q_0 A)^2 = K^2 = 0.19$. Выражение

(1) разлагая в ряд Маклорена, можно получить:

$$n = 1 - \frac{1}{2} K^2 \left(1 + \frac{\Delta f}{A f_0} \right)^2 + \frac{3}{4} K^4 \left(\frac{\Delta f}{A f_0} \right)^4 - \frac{15}{48} K^6 \left(1 + \frac{\Delta f}{A f_0} \right) + \cdots$$
 (2)

Решение уравнения (2) даст:

$$U_{\text{atrix.}} = U_{\text{p. M.}} \left[0.82 - 0.35 \frac{\Delta f}{A f_0} - 0.256 \left(\frac{\Delta f}{A f_0} \right)^2 + \cdots \right].$$
 (3)

Первый член этого ряда соответствует начальному значению выходного напряжения при $\Delta f = 0$, а второй член—касательной в точке разложения и характеризует отклонение реальной характеристики от прямой, т. е. погрешность липейности. Основную долю этой логрешности составляет третий член. Относительную погрешность липейности можно получить разделением третьего члена на второй

$$\tau_{A} = \frac{U_{p, M_{\bullet}} \cdot 0.256 \left(\frac{\Delta f}{A f_{0}}\right)^{2}}{U_{p, M_{\bullet}} \cdot 0.35 \frac{\Delta f}{A f_{0}}} = 0.73 \frac{\Delta f}{A f_{0}},$$
 (4)

откуда максимально допускаемое относительное изменение — А от возникающей при этом максимальной погрешности линейности — выт пажается:

$$\frac{\Delta f}{Af_0} = \frac{\Upsilon_{A, M}}{0.73}.\tag{5}$$

Принимая $\chi_{\rm min}=0.01$, максимально допустимое относительное изменение частоты будет $\Delta f/Af_0\approx 0.0137$. Для рассмотренных дифференциальных датчиков приращение выходного напряжения равно:

$$U_{\text{max}} = U_{\text{max}} - U_{\text{max}} = U_{\text{p. M.}} \left[2.14 \frac{\Delta f}{A f_{0}} + 2.19 \left(\frac{\Delta f}{A f_{0}} \right)^{3} + 0.44 \left(\frac{\Delta f}{A f_{0}} \right)^{5} + \cdots \right]. \tag{6}$$

Относительная погрешность линейности для дифференциальных датчиков равна:

$$\gamma_{A} = \frac{U_{p, m_{\bullet}} \cdot 2,19 \left(\frac{\Delta f}{A f_{0}}\right)^{3}}{U_{p, m_{\bullet}} \cdot 2,14 \left(\frac{\Delta f}{A f_{0}}\right)} = 1,023 \left(\frac{\Delta f}{A f_{0}}\right)^{2}. \tag{7}$$

При максимальной относительной погрешности линейности = 0,01 относительное изменение частоты получается;

$$\frac{\Delta f}{Af_0} = \sqrt{\frac{1}{1,023}} = \pm 0.1,$$

т. е. возможный предел относительного изменения частоты в дифференциальном резонаторном датчике расширяется более чем в 7 раз.

Сконструированные нами дифференциальные датчики имели резонансную частоту в пределах 300—1000 МГц—и применялись в полевых условиях для регистрации ДВУВ (рвс. 2, а). Проведенные эксперименты показали, что изменение температуры в пределах ±25°С не привело к существенному изменению выходного разпостного напряжения. При идентичных резонаторах дифференциального датчика изменение температуры в определенном пределе одинаково расстранвает оба резонатора и поэтому не наблюдается расхожление разностного напряжения.

Как для резонаторного, так и для любого другого датчика большое значение имеет оценка собственной частоты чувствительного элемента, по которому определяют его быстродействие.

В первом приближении, можно препебречь влиянием толкателя и мембраны с жестким центром (рис. 2, а). В дальнейшем это можно учесть с увеличением сосредоточенной массы, закрепленной в конце деформируемого стержия. Кроме того допускается, что выбраны такие размеры чувствительного элемента (рис. 2, а), при которых деформируется голько стенка, образованная двумя кольневыми назами. Таким образом, чувствительный элемент датчика можно рассмотреть как схему упругого стержия с сосредоточенной массои в конце, совершающего продольные колебания. Кроме продольных, возникающие в стержие поперечные колебания практически не влияют на выходные характеристики датчиков. К такому же выводу приволят исследования в [7], де показано, что учет радиальных перемещений оболочки почти не влиьет на продольные перемещения

Дифференциальное уравнение продольных колебаний стержия имеет вид [8]:

$$\frac{ES}{1-v^2}\frac{\partial^2 u}{\partial x^2} + \bar{x}\frac{\partial^3 u}{\partial x \partial t} - m_0 \frac{\partial^2 u}{\partial t^2} - F(x, t). \tag{8}$$

где U=U(x,t), F(x,t) перемещение сечения и внешияя сила, действующая на этом сечении с координатой x в момент времени t; E модуль упругости; S—площадь сечения; v- коэффициент Hyaccona; β —коэффициент, характеризующий внутреннее затухание: m_0 - погонная масса деформируемого стержия.

Отметим, что в записи формулы (8), в первое слагаемое введен множитель $\frac{1}{1-v^2}$. Учитывающий то обстоятельство, что фактически колеблется не стержень, а оболочка, т. е. учитывается простраистиенная работа системы [9].

Согласно методу Фурье, решение уравнения (8) имеет вид:

$$U = \sum_{k=1}^{\infty} X_k(x) \cdot T_k(t), \tag{9}$$

 T_k е. как сумма произведения функции X_k и T_k , из которых X_k является функцией только координаты x_k я T_k — времени t_k

Из решения однородного дифференциального уравнения (8) при F(x,t) можно получить собственные частоты колебания. Из (9) получим два отдельных обыкновенных уравнения, один из которых имеет вид:

$$X_k + -\frac{k}{2} X_k = 0, (10)$$

где м_р — представляет собой частоты собственных колебаний различных гармоник; а параметр, опредсляющий скорость распространения продольных воли в стержие и равный

$$a = \sqrt{\frac{ES}{m_{\phi}(1 - \sqrt{\epsilon})}}.$$
 (11)

Решение дифференциального уравнения (10) имеет вид-

$$X_k = A_k \sin \frac{a}{a} + B_k \cos \frac{a}{a} \tag{12}$$

где A_* и B_* — коэффициенты, определяемые из граничных условий на концах стержия.

Граничные условия имеют вид:

$$\int_{|x=0|} = \frac{1-\sqrt{x}}{1-\sqrt{x}} X_R^{-1} \qquad (13)$$

тде m^* — дополнительная масса в конне стержия.

Подставляя (12) в (13), получим $B_{\mu}=0$ и так называемое частотное уравнение, откуда определяется

$$\frac{a}{a} \approx \frac{a}{a} = \frac{m_0 t}{m^n} \,. \tag{14}$$

Уравнение (14) можно записать в виде b. В [10] приводятся значения первого кория z_1 этого трависисидентного уравнения для различных значений параметра b. При известных b легко графически получить кории

Анализ выражения (14) показывает, что при большем $m_0 l$ по сравнению с сосредоточенной массой m^* , собственная частота колебаний m_k чувствительного элемента получается больше.

При $B_e = 0$, из (12) видно, что колебание деформируемого стержия в виде инлиндрической степки, в основном, происходит по синусопдальному закопу (при рассмотрении частоты только основной гармоники)

Для чувствительного элемента в виде цилиндрической оболочки (рис. 2, а) имеем:

$$S = \pi (D_1 + \delta) \delta; \ m_0 = S m^* = \rho - (DH - D^2 l_1 - D \cdot l_1).$$
 (15)

Приведем пример расчета собственной частоты чувствительного элемента датчика (рис. 2. а): D=3.0 см; $D_1=4.0$ см; $\delta=0.1$ см; t=1.2 см; $t_1=0.9$ см; H=3.0 см; материал дюралиминий (E=0.7-0.0 кг/см², $\epsilon=0.3$, 2.7 г см. По (15) получаем: S=1.22 см. $\epsilon=0.3$, 2.0 стношение $\epsilon=0.06$. Первый корень уравнения $\epsilon=0.06$, из [10] получаем $\epsilon=0.06$. Параметр $\epsilon=0.06$, из [10] получаем $\epsilon=0.06$. Параметр $\epsilon=0.06$. Параметр $\epsilon=0.06$. Стношение $\epsilon=0.06$. Параметр ϵ

Для повышения собственной частоты колебания центральный участок дискообразной перегородки можно выполнить пустотелым (вис. 2, а—обозначен пунктиром).

При сосредоточенной массе ≈ 9 г параметр $b=m_0 l/m^*\approx 0.16$ и тогда $z_1\approx 0.63$. Угловая скорость для первой гармоники равняется $\omega_1=0.283\cdot 10^\circ$ сек $^{-1}$, а частота первой гармоники- $l_1=45$ кl' μ

Нами были изготовлены датчики давления (рис. 2, а) с резонансной частотой резонатора ~ 320 МГц. Собственная частота колебаний чувствительного элемента была в пределах 26--28 кГи. Датчики были ислытаны для регистрации ЛВУВ. Фронт регистрированного импульса был 40 мксек.

Для датчика ускорений (рис. 2, б) собственная частота колебаний была в пределах $37 \div 39~\kappa L \mu$. В этом случае резонансная частота резонатора равнялась $\sim 640~ML\mu$

ЕрПП им К. Маркса

Поступнао 14 VI 1978.

վ. 6. վաթաշտ

ՃեՇՄԱՆ ԳԻՖՈՐԵԵՑԻԱԼ ԲՈՐՈՒԴԱԿԱՆ ՌԵԶՈՆԱՏՈՐԱԵՒՆ ՀԱՅՏՆԻՉՆԵՐ

that ip a day and

Բերված են գիֆերենցիալ Բորոիդական ռեղոնատորային Հնշման և արադացման Հայտնիչների կառուցվածրներ, որոնչ ընդունակ են դրանցելա ինչպես դանդաղ, այնպես էլ արադրնինաց պրոսնաները։ Հայտնիչի դդայուն էլև մենար ունի մի բանի տասնյակ կ<mark>Հգ սեփական տատանումների Հաճախակա-</mark> հություն, որը դեռ կարելի է ղգալի <mark>կերպով մեծացնել։</mark>

Զգայնության, ջիրմակայունության մեծացում, սիայի բավականին փորրացում, պահպանելով համեմա<mark>տարար բարձր արադոր</mark>ծություն, ստադվում է դիֆերենցիալ ձնշման <u>և արադացման հայտնիչներ կիրառելի</u>ս

ЛИТЕРАТУРА

- Илотников И. В. и др. Квазистатический метод градупровки пьезоэлектрических преобразователей давления. Тр. метролог инст. СССР Вып. 156/(216). М., изд. Стандартов, 1974.
- Вирданян В. Р. Торондальный резонаторный датчик завления возлушных ударных поли. «Преборы и системы управления», 1973, № 11
- Вардинян В. Р. и др. Датчик лавления. Авт свид № 324532. «Бюллетень изобретения», 1972. № 2.
- 4. Лебедев И. В. Техника и приборы СВЧ. т. 1 М. ГЭИ. 1961
- Cogdell J. R., Dean A. P., Stratton A. W. Temperature Compensation of Coaxial Cavities, IRE Transactors on Microwave Theory and Techniques, March, 1960, p.p. 151—155.
- Варданян В. Р. Датчик дарления. Авт. свид. № 626376. «Вюдлетень изобретения», 1978. № 36.
- Выгода Ю. А. Динамика работы цилипарического упругого элемента датчика уснаий. «Илистия ВУЗ-об. Приборостроенис», 1974. № 1.
- 8. Филиппоа Л. И. Колебания деформаруемых систем. М., «Машичостросние», 1970.
- Тимотенко С. П., Войновский-Кригер С. Пластинки и оболочки, М., «Машиностроение», 1970
- 10. Прочиость, устойчиность, колебания. Спр. т. 1. М., «Машиностроение», 1970.

են ֆկական գիտութ, սեշիա

XXXII, No 5, 1979

Серия технических поче

ИЗМЕРИТЕЛЬНАЯ ТЕХНИКА

Э. С. СААКЯН

ВИБРОИЗОЛЯЦИЯ ЭЛЕКТРОДВИГАТЕЛЯ ДВИЖУЩЕГО МЕХАНИЗМА В ЭЛЕКТРОПРОИГРЫВАЮЩИХ УСТРОЙСТВАХ ВЫСШЕГО КЛАССА

Современные электропроигрывающие устройства (ЭПУ) высших клиссов представляют собой сложный комилекс технических средств, каждое звено которого должно обладать оптимальными качественными показателями. Одним из существующих звеньев ЭПУ является движущий механизм, состоящий из электродвигателя, диска для установки грампластинки и передачи вращательного движения (от двигателя к диску). Двигатель движущего механизма является источником вибраций, которые в процессе воспроизведения грамзаписи передаются игле головки звукоснимателя. В результате значительно ухудивается качество воспроизведения, гозинкают инзкочастотные помехи (рокот) [1], особенно, заметные в паузях.

Рокот ЭПУ определяется величиной, переданаемой на панель силы

$$P_{\alpha} = \lambda P_{\alpha}$$
. (1)

где $P_{\overline{n}}$ —величина возмущающей силы, возникающей ввиду врящения неуравновениенного ротора:

$$P_{\mu} = \frac{\pi}{900} m_{\mu} \, n^2; \tag{2}$$

 n, m_p , ρ —частота вращения, масса и смещение центра масс ротора от оси вращения; λ —динамический коэффициент передачи [2]:

$$\lambda = \sqrt{\frac{1 + \eta^2}{\left(1 - \frac{\omega^2}{\omega_g^2}\right)^2 + \eta^2}}$$
(3)

η—коэффициент конструкционного затухания: ω_н, ω—круговые частоты собственных и вынужденных колебаний электродвигателя:

$$\frac{2}{0} = \frac{K}{m}$$
 (4)

$$\omega = \frac{\pi n}{30} \tag{5}$$

На основании выражений (1). (2) следует, что для уменьшения P_n необходимо уменьшить m, ρ , n. Уменьшение величин m_p и n достигается использованием маломощных тихоходных (шестпадцати или двадца1078

тичетырех полюсных) сипхронных двигателен, которые при частоте неременного гока 50 Гц имеют 375 или 250 об/мин, соответственно. Масса роторов этих двигателей не превышает 30 г. Уменьшение р до величины 0,003 мм. достигается тпательной балансировкой роторов на балансировочных весах. Примером отечественного двигателя с указанными параметрами может служить электродвигатель ТСК-1, используемый в ЭПУ высшего класса «Электроника Б1-01». Возмущающая сила в таких твигателях в 46 раз меньше таковых, возникающих, например, и электроднигателях ЭДГ-4 с частотой вращения n=1400 об/мин, m=100, и p=0.003 мм.

Однако, полная реализация преимуществ двигателей типа ТСК-1 оказавается затруднительной при использовании традиционных амортизатеров в виде удастичных резиновых втулок 2 (рис 1). На парадения

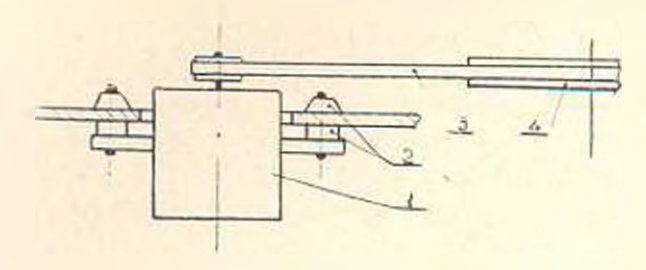
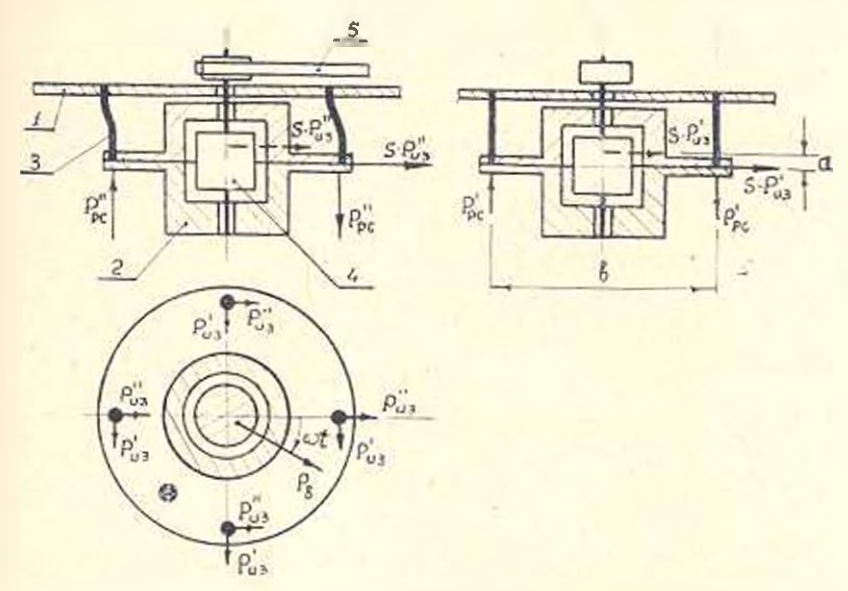


Рис. 1.

(3) и (1) следует, что при уменьшении частоты вращения ротора и общен

массы двигателя, при обычной жесткости амортизаторов, уменьшается отношение - вследствие чего возрастает величина к. Для сохранения величины д на требуемом уровие необходимы амортизаторы значительпо меньшей жесткости. Расчеты показывают, что при использовании лектродвигателей типа ТСК-1 жесткость аморгизаторов должна быть уменьшена, по сравнению с жесткостью амортизаторов, используемых с двигателями типа ЭДГ-4, не менес чем в 27 раз. В противном случае коэффициент передачи увеличивается в 15 раз. чем резко уменьшаются преимущества более совершенного двигателя ТСК-1 перел ЭДГ-4. Однако, такое уменьшение жесткости амортизаторов 2 оказывается недопустимым [3, 4] ввиду перекашинания оси двигателя 1 нассиком 3, что приводит к изменению частоты вращения диска 4 ЭПУ. Для преодолеиня возинкших трудностей использовано закрепление двигателя (рис. 2) на упругих подвесках (амортизаторах) определенной протяженности-Преимуществом такой подвески является получение любой малой жесткости как на изгиб, так и на растяжение сжатие При этом упругие подвески 3 совместно с панелью 1 ЭПУ и корпусом двигателя 2 образуют рамно-связевую систему параллелограмма, что обеспечивает вертикальное расположение оси ротора 4 при смещениях корпуса двигателя нассиком 5.

Как следует из расчетной схемы (рис. 2) упругие подвески двигателя, ввиду воздействия возмущающей силы, находятся в сложнодеформи-



Pag. 2.

рованиом состоянян. С одной стороны, это язгибные деформации от возглействия на каждую подвеску персменных сил

$$P_{\rm na} = \frac{P_{\rm e}}{s} \sin \omega t, \quad P_{\rm na} = \frac{P_{\rm h}}{s} \cos \omega t, \tag{6}$$

а с другов стороны, деформации подвесок на растяжение—сжатие, возникающие от моментов $M'=P_b a$ sin ωt и $M''=P_b a$ cos ωt , образующих пары сил

$$P_{pc} = iP_b \sin \omega t, \quad P_{pc} = iP_q \cos \omega t, \tag{7}$$

где $i=rac{a}{b}$ — конструктивный параметр; a и b —размеры (рис. 2), опреде-

ляемые конкретной конструкцией узла подвески двигателя; s —число симметрично расположенных упругих подвесок.

Собственные круговые частоты изгибных и вертикальных колебаний двигателя определяются из выражений

$$= \frac{sk_{03}}{m} = \frac{3\pi sEr^4}{ml^3} \tag{8}$$

$$\omega_{\rm pc}^2 = \frac{sk_{\rm pc}}{m} = \frac{\pi sEr^2}{ml} \,. \tag{9}$$

тде r, l, E раднус, длина и модуль упругости материала подвески; $k_{\rm un}$ жесткость упругой подвески на изгиб и растяжение сжатие; m—масса двигателя.

Расчет упругих подвесок произведем, исходя из требования, чтобы передаваемые на панель ЭПУ силы от вертикальных колебаний были не больше сил, передаваемых от нагибных колебаний подвесок. На основавии (1) с учетом (6) и (7) имеем

$$\lambda_{\rm pc} \leqslant \frac{1}{2}$$
 (10)

где и — коэффициенты передачи при изгибных и вертикальных колебаниях, соответственно:

$$\lambda_{03} = \sqrt{\frac{1 + \eta_{03}^2}{\left(1 - \frac{\omega^2}{\omega_{03}^2}\right)^2 + \eta_{03}^2}}; \tag{11}$$

$$\lambda_{\rm pc} = \sqrt{\frac{1 + \eta_{\rm pc}^2}{\left(1 - \frac{\sigma^2}{\omega_{\rm pc}^2}\right)^2 + \eta_{\rm pc}^2}} \,, \tag{12}$$

ушы коэффициенты конструкционного затухания при изгибных и вертикальных колебаниях.

Если известны: масса двигателя m частота вращения ротора ω , коэффициенты $\eta_{\rm ord}$, $\eta_{\rm pc}$, число подвесок S и конструктивный параметр i, то задавнись требуемой величиной i, следует рассмотреть два возможных случая:

$$\frac{1}{i}t_{\text{HS}} = (t_{\text{pc}})_{\text{max}} \times \frac{1}{i}t_{\text{HI}} = (t_{\text{pc}})_{\text{max}},$$

тде (Apc) max — максимяльное значение — определенное из выражения (12) при заданной величине —

Если $-\lambda_{\rm HI} \gg (\lambda_{\rm pc})_{\rm max}$, необходимо из (11) рассчитать $\omega_{\rm c}^2$, после чего размеры r и I подвесок могут быть определены из соотношения (8)

$$\frac{r^4}{\gamma^2} = \frac{m\sigma_{si}^2}{3\pi \overline{S}E}.$$
(13)

Если $\frac{1}{i} \lambda_{\text{на}} < (\lambda_{\text{pc}})_{\text{max}}$, необходимо рассчитать ω_{an}^* из (11) и ω_{pc}^2 из

(12), принян $i_{pr} = \frac{1}{i} i_{no.}$ В общем случае ω_{ns} может оказаться как

больше, так и меньше частоты вращения ротора «.

При № > 0, из (8) и (9) с учетом (10) получим

$$r = \frac{1 - 3 m \omega_{\text{pc}}}{E} \tag{14}$$

$$t^3 = \frac{3 \pm S E r^4}{m \omega_{\rm max}^2} \,. \tag{15}$$

А при о_{вс} < о, из (8) и (9) с учетом (10) имеем

$$r < \frac{1 - 3 m \omega_{\rm pc}^2}{- S \omega_{\rm ns} E} \tag{16}$$

$$I^{3} = \frac{3 \pi S E r^{4}}{m \omega_{\mu_{1}}^{2}} . \tag{17}$$

В качестве примера рассмотрим расчет упругих резиновых элементов узла подвески с двигателем ТСК-1 (n=375 об/мин, ω =39,25 C = 0,5 κs), в котором число подвесок S =3, конструктивный параметр t = 0,083, коэффициенты конструкционного затухания $\tau_{\rm RI} = \tau_{\rm IS} = 0.4$. Модуль упругости для каучуковых резин $E = 8 \cdot 10^6$ м/м². Коэффициент передачи при изгибе водвесок примем равным $\lambda_{\rm HI} = 0,1$, при этом $\frac{1}{t} = 2.2$. Из (12) имеем ($t_{\rm PC}$)_{тах} ≈ 2.7 . Следовательно, $\frac{1}{t} t_{\rm HI} < (t_{\rm IE})_{\rm max}$. Далсе из (11) определяем $\omega_{\rm RI}^2 = 131$ c^{-2} , а из (12) получаем два значения $\omega_{\rm PC}^2 = 853$ $c^{-2} < \omega^2$ и $\omega_{\rm PC}^2 = 863$ $c^{-2} > \omega$. Пои $\omega_{\rm RI} = 131$ c^{-2} и $\omega_{\rm PC}^2 = 853$ c^{-2} из (16) и (17) рассчитываем максимально допустимые величины $t_{\rm max} = 25 \cdot 10^{-6}$ м, $t = 11 \cdot 10^{-2}$ м. Естествению, что подвески с такими размерами ис могут быть реализованы.

Для другой возможной пары значений $\phi = 131~c^{-2}$ и = 7863 c^{-2} рассчитываем из (14) минимально допустимую величину $r_{min} = 70 \cdot 10^{-3}$ м. Далее, выбрая из конструктивных соображений и условий прочности величину $r = 2 \cdot 10^{-1}$ и, из (15) определяем $t = 38 \cdot 10^{-3}$ м.

ЕрПИ им. К. Маркса

Поступнаю 28.V.1979.

F. U. DIGGERSHA

ՐԱՐՉՐԱԳՈՒՑՆ ԿԱՐԳԻ ԷԼԵԿՏՐԱՆԼԱԳԱՐԿԻՉ ՈԱՐՔԵՐՈՒՄ ՇԱՐԺԱԲԵՐ ՄԵԽԱՆԵԶՄԻ ԷԼԵԿՏՐԱՇԱՐԺԻՉԻ ԹՐԹՈԱՄԵԿՈՒՍԱՑՈՒՄԸ

Spot Col

Հոդվածում դիտարկվում է էլնկտրանվադարկիչ սարքի շարժաբեր ժեխանիզմի շարժիչի լուրա ատուկ կառուցվածը։ Առաջարկված է կախիչի առածդական մեզմիչների հաշվման մեկեղիկա, որի հետևանթով սահմանափակվում է սարբի պանելի վրա վարանցվող դողոի, ուժի մեծուկկունը, որն առաջանում է էլնկարաշարժիչի խարիսից պատումից։ Բերված է կախիչի առածդական մեզմիչների հաշվման իվային օրինակ։

ЛИТЕРАТУРА

- 1. Апполонова Л. П., Шумова Н. Д. Механическая звукозаниев. М., «Энергия», 1978.
- 2. Кин И., Тонг. Теория механических колебаний М., Машгиз, 1963,
- 3 Патент Великобритании, № 1310428, Класс G5R. Публикация 21 марта, 1973.
- 4. Хапзе Г. Н. Современные электропронгриватели М., «Энергия», 1975

Տեխնիկական գիտութ, սեշիա

XXXII № 5 1979 Серия технических наук

ВЫЧИСЛИТЕЛЬНАЯ ТЕХНИКА

Г. Л. БЕПЖАНЯН

ИССЛЕДОВАНИЕ ВЛИЯНИЯ ИСХОДНОЙ ИНФОРМАЦИИ И ИНСТРУМЕНТАЛЬНОЙ ПОГРЕШНОСТИ НА ТОЧНОСТЬ РАСЧЕТА ОПТИМАЛЬНЫХ РЕЖИМНЫХ ПАРАМЕТРОВ МАГИСТРАЛЬНОГО ГАЗОПРОВОЛА

В статье приведены результаты исследования точности решения задачи оптимизации режимных параметров магистрального газопровода (МГ) на специализированиом аналоговом вычислительном устройстве (СВУ), предназначенного для использования на диспетчерском пупкте управления МГ в качестве советчика диспетчера.

Уравнения математической модели задачи расчета оптимальных режимных нараметров МГ, приведенных к виду, удобному для моделирования, можно представить следующим образом [1]:

$$\lambda_{i} = M_{1i} \left[z_{i} p_{b(i-1)} - p_{b-1} - z_{i-1} Q_{i-1) cp} \right] dt;$$

$$z_{i} = z_{i} \left[-\lambda_{i} \left(p_{b(i-1)} - z_{(i-1)} Q_{i-1) cp} \right) \right];$$

$$p_{b} = M_{0} \int_{0}^{t} \left[\frac{\partial N_{KCi}}{\partial p_{bi}} - \lambda_{i} + \lambda_{i-1} z_{i-1} \right] dt,$$
(1)

тле 4 псопределенный множитель Лагранжа: 1 - квадрат степени сжатия газа на i-ой компрессорной станции (КС). p_{hi} —квадрат данления газа на выхоле 1-ой КС: д. -комплексный параметр. учитывающий физическое состояние транспортируемого газа и топологию линейного участка МГ: Q _ квадрат среднего значения расхода газа

на i-ом участке газопровода; $\frac{\partial N_{K^{I}}}{\partial P_{bI}}$ — частная производная функции

мониности i-ой КС по квадрату выходного давления; M_{1i} , M_{2i} —коэффициенты ураниений, изменяющие время переходного процесса; $i=1,\ 2,\cdots,\ n$ — число КС на рассматриваемой магистрали.

Построенная на основе системы урависний (1) схема СВУ (рис. 1). кроме основных решающих блоков содержит блоки моделирования постоянных и переменных коэффициентов, инверторы и др., которые являются дополнительными источниками ошибок. Поэтому и основу анализа точности решения на СВУ положены машинные уравнения, имеющие для рассматриваемого случая вид:

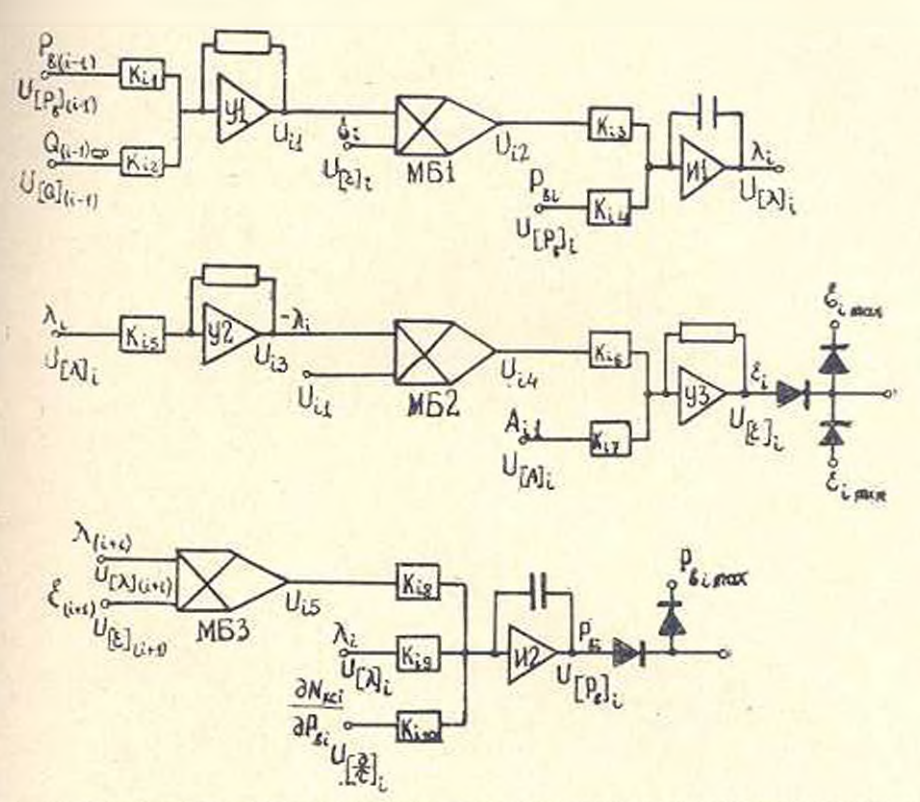


Рис. 1. Структурная схема моделирования уравнений исходной математической модели,

$$U_{t1} = -(R_{t_{*}} U_{t_{1}+1(t-1)} + R_{t_{2}} U_{t_{1}+1(t-1)}); \qquad U_{t2} = 3U_{t1} U_{t_{1}+1};$$

$$U_{t_{1}} = -\frac{M_{t_{1}}}{\rho_{t_{1}}} (R_{t_{1}} U_{t_{2}} + R_{t_{1}} U_{t_{1}+1(t-1)}); \qquad U_{t_{1}} = -K_{t_{0}} U_{t_{1}+1};$$

$$U_{t_{1}} = -(K_{t_{0}} U_{t_{1}} + U_{t_{1}} R_{t_{1}+1(t)}); \qquad U_{t_{1}} = 3U_{t_{1}} U_{t_{1}};$$

$$U_{t_{1}} = -\frac{M_{t_{1}}}{\rho_{t_{1}}} (R_{t_{0}} U_{t_{1}} + R_{t_{1}} U_{t_{1}+1(t-1)}); \qquad U_{t_{1}} = \frac{3}{2}U_{t_{1}} U_{t_{1}+1(t-1)} U_{t_{1}(t+1)} U_{t_{1}(t+1)}.$$

$$U_{t_{1}} = -\frac{M_{t_{1}}}{\rho_{t_{1}}} (R_{t_{0}} U_{t_{1}} + R_{t_{1}} U_{t_{1}+1(t-1)}); \qquad U_{t_{1}} = \frac{3}{2}U_{t_{1}} U_{t_{1}+1(t-1)} U_{t_{1}(t+1)} U_{t_{1}(t+1)}.$$

$$U_{t_{1}} = -\frac{M_{t_{1}}}{\rho_{t_{1}}} (R_{t_{1}} U_{t_{1}} + R_{t_{1}} U_{t_{1}+1(t-1)}); \qquad U_{t_{1}} = \frac{3}{2}U_{t_{1}} U_{t_{1}+1(t-1)} U_{t_{1}(t+1)} U_{t_{1}(t+1)}.$$

$$U_{t_{1}} = -\frac{M_{t_{1}}}{\rho_{t_{1}}} (R_{t_{1}} U_{t_{1}} + R_{t_{1}} U_{t_{1}} + R_{t_{1}} U_{t_{1}}); \qquad U_{t_{1}} = \frac{3}{2}U_{t_{1}} U_{t_{1}} U_{t_{1}}$$

$$U_{t_{1}} = -\frac{M_{t_{1}}}{\rho_{t_{1}}} (R_{t_{1}} U_{t_{1}} + R_{t_{1}} U_{t_{1}} + R_{t_{1}} U_{t_{1}} U_{t_{1}}); \qquad U_{t_{1}} = \frac{3}{2}U_{t_{1}} U_{t_{1}} U_{t_{1}} U_{t_{1}}$$

$$U_{t_{1}} = -\frac{M_{t_{1}}}{\rho_{t_{1}}} (R_{t_{1}} U_{t_{1}} + R_{t_{1}} U_{t_{1}} + R_{t_{1}} U_{t_{1}} U_{t_{1}} U_{t_{1}}); \qquad U_{t_{1}} = \frac{3}{2}U_{t_{1}} U_{t_{1}} U_$$

тде $U_{1|1}$ — неопределенный множитель Лагранжа: $U_{0|1}$ — квадрат степени сжатия газа на i-ой КС: $U_{1Pb|1}$ — квадрат давления газа на ныходе i-ой КС: $U_{1Q|1}$ — квадрат среднего значения расхода газа на i-ом участке: $U_{1A|1}$ — коэффициент анпроконмации производной характеристики КС σN_{KC} ∂z_i : $U_{|\sigma|} =$ величина производной функции мощетики КС σN_{KC} ∂z_i : $U_{|\sigma|} =$ величина производной функции мощетики КС σN_{KC} ∂z_i : $U_{|\sigma|} =$

ности i-ой КС по квадрату выходного давления; β —коэффициент передачи множительного блока: $P_{ii} = \frac{d}{dt_{ii}}$ машинный оператор дифференцирования; K_{ij} — коэффициент передачи решающего блока, j=1, $2,\cdots$, m (значения U в системе (r) выражены в вольтах).

Погрешность ныходных параметров складывается из погрешностей элементов СВУ и исходной информации. Погрешность СВУ определяется так называемыми первичными ощибками отдельных деталей и элементов, которые зависят от ошибок изготовления, сборки, регулярования, а также температурных временных отклонений нараметров и дрейфа нуля усилителей решающих блоков [2].

Слепень влияния отдельных составляющих опинбок на точность решения можно установить с помощью урависний, полученных методами теории точности [3]:

$$\Delta U_{t1} = -(K_{t1} \Delta U_{\{p_b\}})_{\{l=1\}} + K_{t2} \Delta U_{t1} + 3U_{t1} \Delta U_{t2})_{t}$$

$$\Delta U_{t2} = \Delta_{s}^{2} U_{t1} + 3\Delta U_{t1} + 3U_{t1} \Delta U_{t2})_{t}$$

$$\Delta U_{D1} = -\frac{1}{p_{M}} (K_{t3} \Delta U_{t2} + K_{t1} \Delta U_{\{p_b\}})_{t}$$

$$\Delta U_{D1} = -\frac{1}{p_{M}} (K_{t3} \Delta U_{t2} + K_{t1} \Delta U_{\{p_b\}})_{t}$$

$$\Delta U_{D1} = -(K_{t0} \Delta U_{t3} + \Delta K_{t0} U_{t4} + K_{t7} \Delta U_{[M]})_{t} + \Delta K_{t7}$$

$$\Delta U_{D2} = \Delta_{s}^{2} U_{D1} + \frac{1}{p_{M}} U_{D1} + \frac{1}{p_{M}} \Delta U_{[D1} + M_{t0}]$$

$$\Delta U_{D2} = \Delta_{s}^{2} U_{D1} + \frac{1}{p_{M}} U_{D1} + \frac{1}{p_{M}} \Delta U_{[D1} + M_{t0}]$$

$$\Delta U_{D2} = \Delta_{s}^{2} U_{D1} + \frac{1}{p_{M}} \Delta U_{D2} +$$

(3)

Уравнения (3) составлены с учетом погрешности на исходные данные U_{1n_01} , U_{01} , U_{01} , U_{01} , а также погрешности коэффициентов передам K_{C} , K_{D} , 3, непосредственно влияющих на исследуемые нараметры $U_{1:11}$.

Структурная схема моделирования уравнений (3) преобразованной модели представлена на рис. 2. Для получения погрешностей выходных нараметров на входы схемы рис. 2. необходимо подать напряжения U_{t1} , U_{t1} , U_{t3} , U_{t1} , U_{t4} , U_{t1} , U_{t2} , U_{t3} , U_{t4} , U

При исследовании точности рассматриваемого. СВУ следует принять во внимание, что ошибки решающих блоков являются случайными величивами и англиз следует проводить с помощью вероятностных формул [4]. При гауссовом распределении случайных ошибок решающих блоков уравнение для вычисления допуска на ошибки выходных нараметров СВУ примет вид:

где частные производные представляют собой коэффициенты влияния погрешностей отдельных решающих блоков на погрешность выходных

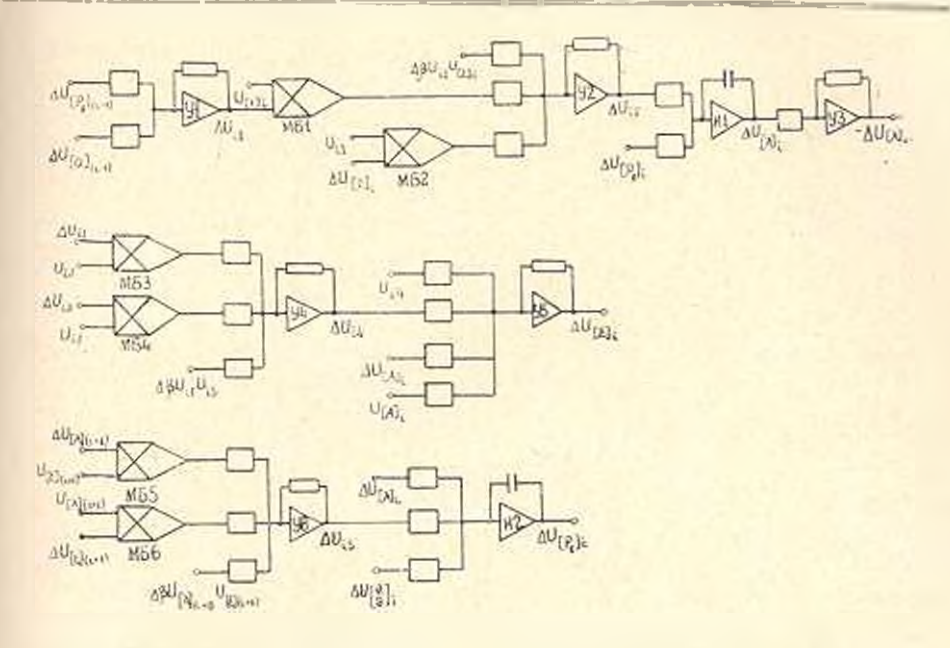


Рис 2. Структурная схема модельрования ураниений преобразованиой модель-

напряжений, значення которых можно вычислить с помощью схем (рис. 1, 2).

Точность уравнения (4) можно вычислить на основе методики, изложенион в [3].

Исследование точности результатов расчета оптимальных режимных нараметров МГ на СВУ проведено для случая магистрали, содержащей три КС. В качестве исходной информации приняты величины нараметров МГ в [1], выраженных в вольтах (табл. 1).

В связи с тем, что энергетические затраты из гранспорт газа по МГ зависят от точности расчета степеней сжатия газа на КС, представляет интерес апализ влияния гочности исходной информации и решающен техники на отклонение фактических степеней сжатия от оптимальных.

Для повышения точности визуального замера результатов расчета уравнения (3), при масштабировании переменных, они были умножены на коэффициент R=8.

Влияние погрешностей исходиых характеристик КС на результаты расчета при помощи СВУ исследовано для случая моделирования характеристик КС с погрешностями ± 5 , 10 и 15%, причем, остальные погрешности принимались равимми нулю. При этом погрешность расчета степеней сжатия газа на КС $\Delta U_{\rm b,b}$ достигала до $\pm 13\%$. Пекоторые результаты расчета принедены в табл. 1.

Экспериментальные исследования схемы преобразованиой модели (рис. 2) показали, что при аппроксимации производных характеристик КС полиномами нервой степени илияние погрешностей решающих блоков и задаваемых параметров МГ $\Delta U_{(0)}$, $\Delta U_{(Pb)}$, $\Delta U_{(2)}$ на отклонение исследуемых параметров МГ $\Delta U_{(0)}$, незначительно.

Тиблица!
Влияние погрешностей эквиналентных характеристик КС на точность результатов расчета

proportion participal									
		Исходные піраметры МГ, выраженные в воль- тах							
Ne.No	Погрешность эквива- лептных характеристык КС		60 E ; $U_{[Q]2} = 34.5$.						
		L Q 0 = .	$10 B: C_{Q J} = 33 B$	$C[A]_2 = 31 B'$					
		$U_{[Q]1}$	40 B; Upsil = 25 B	$U_{[A]3} = 34B$					
		16 [c]1. %	$\Delta U_{[+]1}$. "/o	$\Delta U_{[i]3}$. $v_{[0]}^{\prime}$					
1	$\Delta U_{[A]i} = \Delta K_{i7} = 5^{\circ}$	2	1,4	4,5					
2	10 (A)1 = 10 = 1Km = 10 %	8,2	4	9.7					
3	$\Delta V_{\{A\}I} = \Delta K_{IG} = \Delta A_{I} = 15^{\circ}$	11	7.4	12,9					

Степень влияния точности вычислятельного устройства на результаты расчета $U_{[\cdot],1}$ была исследована для случаев точности СВУ 1.2 и 3%. В табл. 2 приведены расчетные величины погрешностей ныходных нараметров $\delta |\Delta U_{[\cdot],1}|$ для рассматриваемых случаев точности СВУ, при задании исходных параметров МГ $\epsilon |\Delta U_{(PB)}|$, $\delta |\Delta U_{(QI),1}|$ с погрешностью 5,8%.

Таблица 2
Влияние ошибок козффициентов передач СВУ на точность
результатов расчета

Neny II.II.	Пиструмен- тальная погреш- ность	Погрешн	вариант р ость исх. 8 \(\lambda U_{\{z\}} \rac{1}{2} \right),	шф. 5" "	Погрен	2-ой нариант расчета Погрешность исх. инф. 8%, (20) [1] (1		
1 2 3	$\frac{a_{i} \Delta K_{Ij} }{2 \Delta K_{Ij} } = \frac{1}{2}a_{i}$ $\frac{a_{i} \Delta K_{Ij} }{2 \Delta K_{II} } = \frac{3a_{i}}{3}$	0,12 0,3	0,11 0,19 0,25	0.15 0.4 0.75	0,16 0.4 0.75	0.1 0.15 0.2	0.3 0,55 0,78	

Выводы

1. Анализ результатов исследования показал, что на точность расчета оптимальных режимных нараметров МГ значительное влияние оказывают погрешности моделируемых характеристик КС. При учете точности исходной информации влияние погрешности СВУ на точность расчета составляет незначительную долю. Полученные результаты обосновывают целесообразность использования СВУ для автоматизации процесса расчета оптимальных нараметров режима работы МГ.

2. Оценку влияния погрешностей исходной информации и решаюших блокон СВУ на точность расчета режимных параметров МГ удобно проводить при помощи преобразованной модели, позволяющей наиболее просто осуществить выполнение значительного объема математических операции.

Ер. компл. отдел ВНЦИП авпрома

Поступпло 15.V1.1977.

9. 9. 26.205805

ԵԼՄԱՆ ԻՆՖՈՐՄԱՑԻԱՅԻ ԵՎ ԳՈՐԾԻՔԱՅԻՆ ՍԵԱԼԱՆՔՆԵՐ ԱԶԳԵՑՈՒԹՅԱՆ ՀԵՏԱԶՈՏՈՒՄԸ ՄԱԳԻՍՏՐԱԼԱՅԻՆ ԳԱԶԱՄՈՒՂԻ ՈՊՏԻՄԱԼ ՊԱՐԱՄԵՏՐԵՐԻ ՃԵՏՈՒԹՅԱՆ ԱՐԳՑՈՒՆՔՆԵՐԻ ՎՐԱ.

Unithernia

Հողվածում բերված են հատուկ անալողիային այդի սաբթի միրոցով կատարած դաղամուդի օպտիմալ ռեժիմային պարամետրերի հաշվարկի հրշտության հետազոտման արդյունբնրեր ելման ինֆորմացեուլի և հաշվել էլևմենտների տարբեր սիսայանքների դնպրում։

JUTEPATYPA

- Матевосян И. А., Биджанян Г. Д. Автоматизация расчета оптимальных давлений в узловых точках магистрального гизопровода, «Труды ВПИИЭГазпрома, сер. Управление и организация труда в газовой промышленности», 1976, вып. 1/1. с. 94—102.
- 2. Смолов В. Б. Аналоговые вычислительные машины. М. «Высшая школа», 1972, с. 408.
- 3. Матевосян П. А. К вопросу о расчете точности аналоговых математических молелей. «Известия АН АрмССР (серия Т. П.)», т. XXI, № 1, 1968, с. 28—35.
- 4 Справочник по аналоговой пычислительной технике Киси, «Техника», 1975. с. 132.

Տեխնիկական գիտութ, սեշիա

XXXII, № 5, 1979

Серия технических наук

НАУЧНЫЕ ЗАМЕТКИ

A. C. ABAKHMOB

РАНЖИРОВКА УЗЛОВ СЕТИ ПРИ КОМПЕНСАЦИИ РЕАКТИВНОЙ МОЩНОСТИ НАГРУЗОК

Для обеспечения экономичности работы электрических сстей важным мероприятием является минимизация капитальных заграт как при их проектировании, так и эксплуатации с обеспечением снижения потерь электроэнергии. Одним из решений этих задач является установка компенсирующих устройсти (КУ) в узлах системы. Мощность КУ, установленных в электрических системах страны, составляет около 15% от суммарной установленной мошности генераторов. Опыт эксплуатации сетей и многочисленные исследования показывают, что для сетей низкого напряжения экономически оправдывается полная компенсация реактивной мощности [1], однако на сетодиящий день потребность электрических сетей в КУ не удовлетворяется электротехнической промышленностью страны [2]. В связи с этим возникает вопрос при компенсации реактивных мощностей нагрузок Q_0 КУ устанавливать в тех узлах сети, которые сравнительно больше нуждаются в компексации, т. с. произвести раижировку нагрузочных узлов сети по установке в них КУ.

Критерием для ранжировки узлов сети при компенсации Q_a принята величина суммарных затрат на потери электроэнергии в сетях системы, установки и эксплуатации КУ. При этом, с учетом требований [1] питающая и распределительные сети должны рассматриваться совместно. В данной статье питающая сеть рассматривается подробно, а распределительные сети заменяются эквивалентными сопротивлениями R_a , которые подключаются, соответственно, в узлы питающей сети

Величина *R* определяется из условия равенства потерь активной мощности в действительной распределительной сети и эквивалентном сопротивлении [3]:

$$\Delta P_{\rm g} = \Delta P_{\rm a} = I^{\rm s} R_{\rm b}$$

отсюда

$$R = \frac{U^2}{I^2} = \frac{U^2}{(P^2 + Q^2) \, 10^3}$$

где P, Q, U—активная реактивная мощности и напряжение в узле сети, откула интается данная распределительная сеть.

Разработана программа, реализующая алгоритм расчета эквиванентного сопротивления сети на языке «Фортран-IV». Функция затрат состоит на следующих слагаемых:

$$3_{2}^{I} = 3_{n} + 3^{I} + 3_{n}^{I} \tag{1}$$

где 3_n , 3_n —затраты на потери электроэпергии в питающей и распределительных сетях; $3_{n,i}$ —затраты, связанные с установкой и эксплуатацией KY; i—текущий индекс нагрузочного узла питающей сети.

Представим функцию затрат в развернутом виде:

$$\mathbf{3}_{\mathbf{v}}^{t} = \Delta A_{\mathbf{u}} b_{\mathbf{u}} + \Delta A^{T} b_{\mathbf{p}} + (\beta_{\mathbf{v}} K_{\mathbf{v}} - \Delta p_{\mathbf{k}}, b_{\mathbf{v}}) \Delta Q_{H^{*}}^{t}$$
 (2)

где ΔA_0 , ΔA_0 и b_1 — суммарные потери электроэнергии и их удельная стоимость в интающей и распределительных сетях системы при изменении реактивной монности нагрузки на ΔQ_0 ;

р -коэффициент суммарных ежегодных отчислений:

R — удельные затраты на установку КУ в сетях 6—10 кB (предволагается установка статистических конденсаторов типа КСА-0,66-40);

 $\Delta P_{cr.} | b_{cr.} |$ удельные потерии активной моощности в КУ и их удельная етонмость:

величина компенсируемой реактивной мощности нагрузки.

Поочередно изменяя реактивную мощность нагрузки на величину $\Delta P_{\rm IR}$ формуле (2) определяются суммарные затраты $\beta_{\rm IR}$ для каждого нагрузочного узла. Затем по полученным значениям $\beta_{\rm IR}$ в возрастающем порядке определяется очередность нагрузочных узлов по установке в них КУ.

С целью сокращения времени расчета при переходе от одного узла к другому, величина суммарных потерь электроэнергии—в питающей сети определяется с помощью матрицы чуиствительности, которая отражает связь зависимых параметров с независимыми.

Расчетная формула для матрицы чувствительности получается путем разложения в ряд Тейлора уравнений исходного установившегося режима:

$$W(x_0, y_0) = W_0 = 0. (3)$$

где ло, уо-векторы зависимых и независимых нараметров.

Отбрасывая все члены второй и более высоких степеней в связи с малостью изменений Δx и Δu , получим:

$$[W_0] + \left| \frac{\partial W_0}{\partial x} \right| \cdot [\Delta x] + \left| \frac{\partial W_0}{\partial y} \right| \cdot [\Delta y] = 0.$$

Отсюда с учетом (3) получим:

$$\left| \frac{\partial W_0}{\partial x} \right| = [\Delta x] + \left| \frac{\partial W_0}{\partial y} \right| = |\Delta y| = 0.$$

Здесь $\left| \begin{array}{c} \frac{\partial W_0}{\partial x} \right|$ представляет собой матричу частных производных от па-

метров режима по зависным переменным. По аналогии $\left\lceil \frac{\sigma W_0}{\sigma_X} \right\rceil$ опре-

деляют и матрицу $\left| \frac{\partial W_0}{\partial y} \right|$. Из последнего уравнения легко можно определить приращения зависимых параметров [Δx]:

$$[\Delta x] = -\left[\frac{\partial W_0}{\partial x}\right]^{-1} \cdot \left[\frac{\partial W_0}{\partial y}\right] \cdot [\Delta y], \tag{4}$$

где $[S] = \begin{bmatrix} \frac{\partial W}{\partial x} \end{bmatrix} - \begin{bmatrix} \frac{\partial W}{\partial y} \end{bmatrix}$ представляет собой расчетную формулу матрицы чувствительности. Тогда формула (1) принимает следующий вид:

$$[\Delta x] = -[S] \cdot [\Delta y], \tag{5}$$

где $|\Delta y|$ —вектор приращений независимых нараметров.

В качестве независимых параметров [y] выбраны напряжения генегаторных узлов, кроме балансирующего, и реактивные мощности нагрузочных узлов. Зависимыми параметрами [x] являются углы напряжений всех узлов, кроме балансирующего, и напряжения нагрузочных узлов. Остальные параметры режима являются заданными-фиксированными.

Значения зависимых параметров нового режима определяются по формуле:

$$[x^H] = [x^b] + [\Delta x], \tag{6}$$

где $[x^0]$ —вектор зависимых параметров исходного установившегося режима.

По полученным параметрам нового режима рассчитываются потери влектроэнергии в сетях системы ΔA . При этом потери активной мощности определяются по формуле [4]:

$$\pi = \sum_{k=1}^{n} \sum_{m=1}^{n} U_m U_k \chi_{m+1} \cos \left(\psi_m - \psi_k \right), \tag{7}$$

где U и ψ -- модуль и фаза - напряжений $m,\,k=4$ -;- и узлов системы; g_{mk} - активиая проводимость отпосительно узлов $m,\,k$.

Если в формуле (в) приращения напряжений генераториих узлов принимать равными нулю, то новые значения зависимых нараметров $[x^n]$, а следовательно, величина затрат ${\cal A}$ определяется только в результате изменения реактивных мощностей нагрузочных узлов, и формула примет следующий вид:

$$[\Delta x] = -[S] \cdot [\Delta Q_H]. \tag{8}$$

Поочередно, переходя к новым нагрузочным узлам, по формуле (8) находятся приращения зависимых нараметров $[\Delta x]$, а по формуле (6) — поные значения зависимых параметров $[x^n]$. Затем, по формулам (7) и (2) определяется величина заграт, по которой производится ранжировка узлов при компенсации реактивной мощности.

Принимая в формуле (5) приращения реактивных мощностей нагрузочных узлов равными нулю, получим формулу, по которой непосредственно (бся расчета установившегося режима) можно определить напряжения в узлах системы при изменении напряжения любого генераторного узла. Это свойство алгоритма может быть использонано для регулирования режима системы по напряжению.

По разработанному алгоритму составлена экспериментальная программа и для конкретной энергосистемы с n=22 рассмотрена раижировка нагрузочных узлов системы при компенсации их реактивных мощностей.

Проведены исследования по определению влияния использования матрицы чувствительности на точность расчета. Результаты исследований показали, что погрешность определения зависимых параметров режима ψ и U с использованием матрицы чувствительности при изменении реактивных мощностей нагрузок до 0,2 $Q_{\rm H}$ не превышает 0,5%. При этом погрешность расчета потерь электроэнергии составляет до 1,3%.

Выводы

- 1. Использование матрины чувствительности в расчетах критериев для ранжировки нагрузочных узлов сети при компенсации реактивной мощности дает значительное сокращение машинного времени.
- 2. Погрешность расчета зависимых нараметров с помощью матрины чунствительности, при изменении независимых нараметров до 20%не превышает 0.5%.
- На базе матрицы чувствительности получена ранжировка генерирующих узлов системы, используемая для полдержания уравнения напряжения в нагрузочных узлах.

Apu HIIII 3

Поступнае 14.11.1970.

ЛИТЕРАТУРА

- Карпов Ф. Ф., Колырь В. Н., Согомонян С. В. Основные положения повых «Указаний по компенсации реактивной мощности в распределительных сетях». «Промышленияя энергетикя», 1974. № 10.
- Гайц 1. А. Вопросы компенсации реактивной мощности и сетях элергосистем промышленных предприятий. Сб. «Компенсация реактивных нагрузок—и синжение потерь электроэпертии в сетях промышленных предприятий», Москва, 1977.
- Адонц Г. Авакомов А. Управление распределением реактивных мощностей потребителей эпергосистемы. Сб. «Материалы междупародной конференции по промышленной эпергетике», Бухарсст, 1978.
- Адонц Г. Т. Миогополючинк (теория и методы расмета), Ереван, изд. АН Арм. ССР, 1965.

Տեխնիկական գիտուր, սեբիա

XXXII, № 5, 1979

Серия техинческих наук

научные заметки

Г. В. БАГДАСАРЯН, А. М. АРЗУМАНЯН, В. В. ВАРДИКЯН

ВИБРАЦИЯ СИСТЕМЫ СПИД ПРИ ЧИСТОВОМ ТЕЧЕНИИ

При обработке на токарных станках резнами ИЧТ (инструмент чистового течения) с уменьшением глубины резаиня предполагается увеличение объемного износа инструмента, который приводит к изменению величии сил резаиня, вследствие чего нарушается устойчивость системы СПИД. С другой стороны интенсивность образования площадки при точении определяется как произведение подачи на скорости резаиня. Разработка данного инструмента позволяла значительно повысить скорости резаиня и подачи, и тем самым способствовать устойчивости СПИД.

Данная работа является одной из попыток определения причины появления вибраций при чистовом точении резцами ИЧТ. Механизм возбуждения колебаний при чистовом точении инструментом ИЧТ поканая на рис. 1. В рассматриваемой модели резец, длина режущей кром-

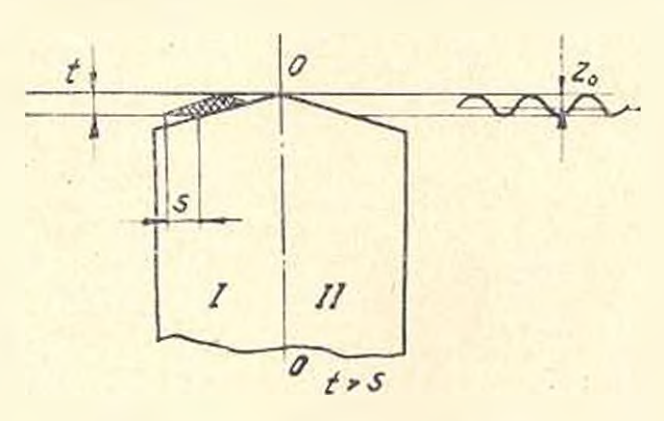


Рис. 1 Механизм возбуждения колебаний при чистовом точении резцом ИЧТ

ки которого намного больше подачи, условно лелится на две части.

В процессе резания II часть резца выглаживает высоты гребенков, т. е. от глубниы резания t остается глубина слоя t, которая должна синматься II частью резца. Причниой появления остаточной глубины является процесс упругой и пластической деформации и зоне резания. При сиятии этого слоя последовательно происходит смена фаз кратковременного резания и скольжения резца.

Волинстость новерхности образуется при соединении двух частей резца. Следовательно, глубина слоя, синмаемого 11 частью резца при следующем обороте детали, зависит не только от относительных пере-

мещений резна и детали, но и этих соотношений при предыдущем обороте.

Механизм чистового точения резцом ИЧТ нами рассматривается как замкнутый процесс, который состоит из двух частей [1] (рис. 2): линамической характеристики станка и процесса резания.

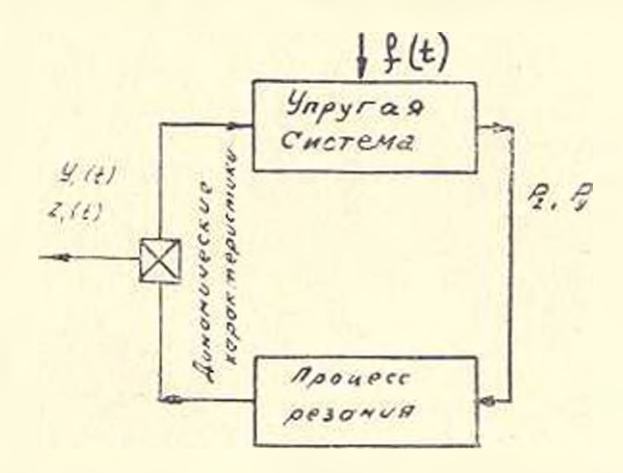


Рис. 2. Замкнутая система СППД при чистовом точении.

Характеристическое уравнение процесся, которое позволяет установить предел устойчивости в матричной форме, согласно [2], имеет следующий вид:

$$\det |1 - M \cdot K| = 0, \tag{1}$$

где 1—единичная матрица, М, А—матрицы податливости станка и виброустойчивости системы СПИД.

Согласно [2], снязь между динамическими силами резания и холостым ходом, а также динамической глубиной резания, при главном и вспомогательном резании рекомендуется выразить следующими уравцепнями:

$$P_{y}(\tau) = -C^{(y)} z(\tau) + C[z(\tau - T_{0}) - z(\tau)];$$

$$(\tau) = -C^{(z)} z(\tau) + C^{(-)}[z(\tau - T_{0}) - z(\tau)],$$
(2)

тде коэффициенты $C_1^{(y)}$, $C_2^{(y)}$, $C_2^{(z)}$, $C_3^{(z)}$ определяются по методике приращения жесткости при изменении сил резания в зависимости от глубины резания.

Преобразование уравнений (2) позволяет определить соотношения частей R_{zy} , R_{zz} :

$$K_{xy} = C_2^{(y)} \left(e^{-a} r_i - 1 - \frac{C_1^{(y)}}{C_2^{(y)}} \right);$$

$$K_{xy} = C_4^{(y)} \left(e^{-a} r_i - 1 - \frac{C_4^{(y)}}{C_4^{(y)}} \right).$$
(3)

Решая дегерминант в уравнения (1) ври допущении, что смещение по направлениям z и y не оказывают влияния на t, получим:

$$1 - m_{zz} K_{zz} - m_{yz} f(K_{zz}) = 0. (4)$$

Таким образом, урависние (4) дает частотную характеристику станка и представляет процесс резания обратной кривой. а динамическое состояние станка характеризуется кривой m_{zz} или m_{zy} . Объединив эти две кривые в системе $\Lambda\Phi^{\rm t}$ IX, согласно [3], определим величины R_z , J_m .

Таким образом, были выведены системы АФЧХ при чистовом точении с учетом объединения кривых податливости—станка и виброустойчивости системы СПИД.

Описанияя методика позволяет исследовать динамическую устойчивость процесса чистового резания с учетом условий обработки и жесткости станка. В качестве примера приведены результаты исследований виброустойчивости системы СПНД при чистовом точении материала марки сталь 45 резпом НЧТ.

Режимы резания были выбраны для данного материала в инструмента методом факторного планирования. План эксперимента с результатами принедены в табл. 1. Согласно [4], оптимизация процесса реза-

Тоблица 1

75	V., м.мин	S,	, t. ,u.u	P _c ,	Py.	RSC.	.wk.u	Облучениные уравнения
1 2 3 4 5 6	100 213 333 133 213 333 133	0,075 0,075 0,075 0,125 0,125 0,125	0.2 0.4 0.2 0.4	21 6 17 11 17 45,2 34,6	17 4.8 6.6 10 13.6 19.2 34.6	5.7 1,7 2,8 2,5 4,1 6,7	12.2 3.2 4 5.2 6.4 8.2	$P_{y} = \frac{e^{5.05}}{V^{0.15}}$ $P_{y} = \frac{e^{4.22} S^{0.6}}{V^{0.11}}$ $P_{A} = \frac{S^{0.4}}{V^{0.1}}$
8 9	213 333	0.25	0,8	67.3	48 13,6	10,8	14.4	H = = 25.25 S4.20 20.5

ния одновременно по силе резания и шероховатости поверхности с учетом ограничений станка даст следующие оптимальные значения режимов резания:

$$V = 250 \text{ M/mun}; S = 0.075 \text{ MM/po}; t = 0.3 \text{ MM}.$$

По данным режимам резания проведены исследования виброустойчивости системы и определены значения всех неизвестных в уравнениях (5). Расчет значений R_c и J_m конкретно для указанных условий обработки приведены в табл. 2.

T_i	ıō,	111	щи	2

i cek	податан- вость, К,	or or Lieux	1/cesc	Декремент затухания,	7 ₂ ,	Re-10-3	J _m -10 ⁻³
		Litta	7	-41		1	
1500	5.41	5945	1.61	0,1	5,51	0.012	-0.021
1800			-,01			0.019	0.011
2100				•		0,036	0.018
2500	•		-	•		0,045	0.018
2800			-			0.031	0,081
3000	-	-			×	-0.011	-0.1
3200	•	•	-		-	-0.03	-0.4
3400		•	-		-	-0.02	-0,5
3600						-0.04	-0.4
4000	*	-			-	-0.027	=0.012
1500	Α		-	•		-0.01	-0.019

На рис. 3, по данным табл. 2 приведены АФЧХ системы СПИВ

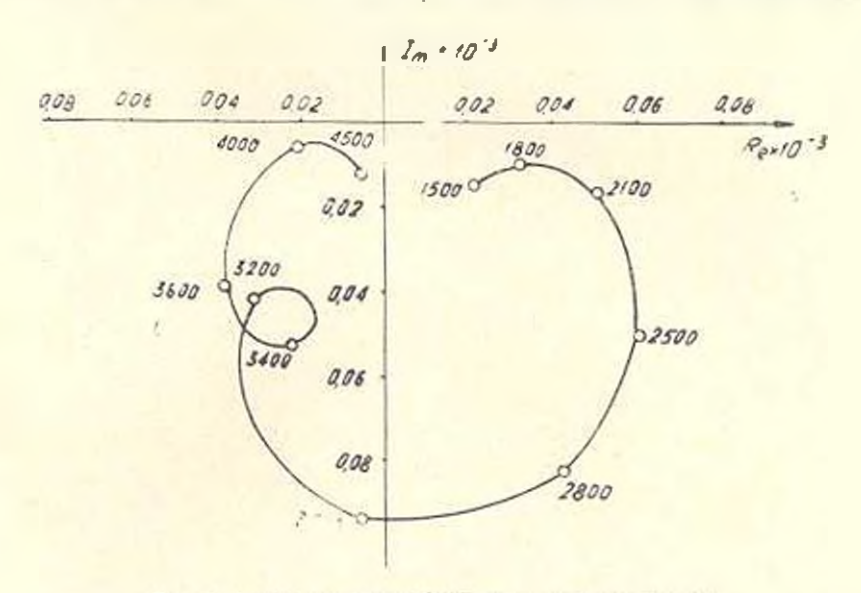


Рис. 3. АФЧХ системы СПИД при чистовом точении.

Анализ графика показывает, что устойчивость, в основном, зависит от подачи и глубины резания. Чем меньше подача и взаимное перекрытие режущей кромки, тем устойчивее система СПИД.

Однако уменьшение нодачи приводит к снижению производительности обработки, что нецелесообразно, поэтому рекомендуется длину режущей кромки выбрать в соответствии с требуемой подачей. Кроме того, необходимо несколько изменить угол наклона режущей кромки λ и угол установки резца β_2 так, чтобы процесс резания протекал без каких-либо скачков или торможений.

ЛИТЕРАТУРА

- 1 Биедасарян Г Б. Изучение виброустойчивости строгального станка типа 7М36. «Известия АН АрмССР (серяя Т. 11.)», т. XXIII, № 2, 1970
- Динамика чистового точения токарным резцом с зачистой режущей кромкой. Экспресс информация, «Режущие инструменты», 1977, № 8
- 3. Кудинов В. А. Динамика станков. М., «Машиностроение», 1967.
- Касьян М. В., Бигдасарян Г. Б., Арзуминян А. М. Объемная деформация стружин, как показатель определения обрабатываемости. «Известия АН АрмССР, (серия Т. П.)», т. ЖХХ, № 5, 1977.

Տեխնիկական դիտութ, սեշիա

XXXII № 5, 1979 Серия технических начк

НАУЧНЫЕ ЗАМЕТКИ

Г. Н. ДЕН, Р. Е. ЕПРЕМЯН

К ТЕРМОГАЗОДИНАМИЧЕСКОМУ РАСЧЕТУ ПРОТОЧНОВ части центровежного компрессора для СЖАТИЯ РЕАЛЬНОГО ГАЗА

При расчете центробежных компрессорных машин обычно принимается, что в теплоизолированной проточной части процесс политропический [1]. В настоящее время хорошо разработаны инженерные методы расчета центробежных ступсией для сжатия рабочих тел, близких к идеальному газу с постоянной теплоемкостью с. При расчете проточной части для сжатия рабочих тел, которые уже нельзя рассматривать как идеальные газы, приходится вспользовать крупномасштабные тепловые диаграммы или приближенные методики, позволяющие за счет введения дополнительных упрощающих допущений, справедливых в сравнятельно узкой области изменения гермических параметров состояния p и T, придать ряду расчетных зависимостей такой же вид, как для идеального газа [2, 3]. При этом приходится вводить средний для рассматриваемого интервала термических параметров показатель изоэнтропы k «условного» газа, заменяющего реальное рабочее тело, или же использовать различные показатели степени k_T и k_{\perp} в уравнениях, связывающих термические параметры р. о и Т на линии процесса.

Использование определения политропического процесса в реальном газе, как процесса, происходящего с постоянной тенлоемкостью 🧓 [4]. нозволяет отказаться от введения дополнительных допущений о снойствах рабочего тела в рассматриваемой области или различных покавателей степени на линии процесса и вести расчат непосредственно по зависимостям $p = p(\rho, T)$, $i = i(\rho, T)$ и $s = s(\rho, T)$ для данного вещества с привлечением опытиму данных о коэффициентах потерь элементов прочной части или ее политропическом КПД 4. .

Согласно [4] при политропическом процессе

$$s - s_n = c_n \ln (T_t T_n),$$

здесь и далее нидекс «и» указывает нараметры, соответствующие начальной точке процесса.

Потери напора, вызванные исобратимым переходом механической энергии в тепловую, равны

$$l_r = c_n (T - T_n).$$

Связь между коэффициентом потерь энергии [5] в элементе проточной части 🛴 скоростью потока в контрольном сечении этого элемента с, температурой Т и энтропней з устанавливается соотношением

$$s_2 - s_1 = 0.5 \zeta c^2 \frac{\ln (T_0/T_1)}{T_1 - T_1}$$
 (1)

где индексами 1 и 2 помечены величины, относящиеся к входному и выходному сечениям элемента центробежной ступени.

Политропический КПД проточной части при постоянной для всех ее элементов теплоемкости процесса с определяется формулой

$$\gamma_{in} = 1 - \frac{s_n - s_n}{i_n - i_n} \cdot \frac{(T_n - T_n)}{\ln (T_n / T_n)},$$
 (2)

где пидексом «к» отмечены параметры за проточной частью.

В частном случае идеального газа с постоянной изобарной теплоемкостью с_р формула [2] приводит к уравнению политропы

$$p_n/p_n^n = p_n/p_n^n$$

причем, показатель политропы n связан с газовой постоянной R соотношением

$$n(n-1) = -\epsilon_p R.$$

Для получения зависимостей давления p, энтальний t и энтропии s от илотности p и температуры реального газа T может быть использована любая форма термического уравнения состояния рабочего тела t (p, p, T) = 0 и зависимость изобарной теплосмкости при идеально-газовом состояния вещества ($p \rightarrow 0$, $p \rightarrow 0$) от температуры [6]. В общем случае формулы для подсчета t и имеют вид:

$$i = \int (c_r^{ax} - R) dT + T^2 \int \left[\frac{\partial}{\partial T} \left(\frac{p}{7} \right) \right]_g d\left(\frac{1}{g} \right) + \frac{p}{g} + C_L ,$$

$$s = \int (c_p^{ax} - R) \frac{dT}{T} + \int \left(\frac{\partial p}{\partial T} \right)_g d\left(\frac{1}{g} \right) + R \ln g + C_S .$$

При аппроксимации сал полиномом

$$c_{jj}^{ax} = \sum_{j=1}^{l} d_j T^j$$

и пспользованни термического уравнения состояния, записанного в форыс Боголюбова-Мейера

$$p = pR7 \left(1 + \sum_{k=1}^{r} \sum_{j=0}^{l_k} b_{kj} \, p^k \, b^{-j} \right).$$

для определения і и з будем иметь

$$i = \sum_{i=1}^{l} \frac{dj}{1+j} T^{i-j} + RT \sum_{i=1}^{l} \sum_{j=1}^{l} \frac{k+j}{k} b_{kj} s^{k-\beta-j} + C_{l},$$

В носледних трех соотношениях $\theta = T/T_{\rm sp}$, примем , $T_{\rm sp}$ - критическая гемпература, r - число вприальных коэффициентов. I — число членов полинома по 0 в κ к»-ом вириальном коэффициенте.

Снедения о коэффициентах d_j примерно для 400 веществ содержатся в [7], коэффициенты b_j для ряда веществ, применяемых в холодильной технике, приведены в [8], а в иных случаях эти коэффициенты можно найти, опираясь на справочные данные, содержащиеся, например, в [9].

При термогазолинамических расчетах и экспериментальных исслелованиях центробежных компрессоров приходится решать три различные задачи: определять производительность и конечное давление проточной части с известной геометрией при заданной скорости вращения ротора, рассчитывать размеры ноной проточной части, которая должна обеспечить заданную производительность и конечное давление, и нахолить коэффициенты потерь элементов проточных частей и их политронический КПД по результатам измерений параметров потока. В качестве примера, показывающего подход к решению таких задач с использованием приведенных выше соотношений, рассмотрим задачу об отыскании массовой производительности G и конечного давления P_{κ} для одноступенчатой проточной части с известной геометрией при заданной окружной скорости колеса u_2 , выбранных значениях коэффициента расхола φ_{κ} и политропическом КПД γ_{κ} .

Прежде, чем отыскивать G и ρ_* обычными известными методами [5] следует определить теоретический коэффициент напора колеса и коэффициент мощности у соответствующие заданной геометрии и принятой величине z_* .

Пренебрегая кинстической энергней потока перед и за ступенью— величилами 0, 5 c^2 и 0.5 c^2 —по сравнению с изменением энтальнии $t_{\rm g}$ — пользуясь уравнением напора и уравнением политроны (2), получим систему уравнений, позволяющую определить температуру и илотность за ступенью T, и $\gamma_{\rm g}$.

$$i_* (p_{n_*} | T_*) - i_n = u_2^* \lambda_*$$

$$s_n (p_n, T_*) - s_n = u_2 \chi (1 - q_n) \frac{\ln (T_*/T_*)}{T_* - T_n}.$$

Для определения массовой производительности ступени *G* необходимо вычислить плотность при выходе из колеса ρ₂. Предварительно известными методами [5] следует найти коэффициент реакции ступени Ω. Для вычисления ρ₂ используются уравнения напор и политропы, согласно которым

$$= (p_0, T_0) - i_0 = 2u + \chi,$$

$$s_2 \left(g_2, T_0 \right) - s_0 = 2 \, u_2^2 \, T \left(1 - g_0 \right) \, \frac{\ln \left(T_2 / T_0 \right)}{T_0 - T_0} \, .$$

Отметим, что температура потока при ныходе из колеса может быть вычислена по простои формуле

$$T_2 = T_0 - \Omega (T_1 - T_0),$$

следующей из того, что изменения энтальнии и температуры при политроинческом процессе связаны линейной зависимостью.

Массовая производительность ступени G определяется по формуле

$$G = F_a u_a P_\ell$$
, γ_a

где F_2 —площадь выходного сечения колеса

Учитывая сложность зависимостей, характеризующих физические свойства реальных газон, все термогазодинамические расчеты центробежных компрессоров целесообразно выполнять на ЭВМ.

При расчетах проточных частей для сжатия газовых смесей более удобным оказывается использование термического уравнения состояния и форме Бенедикта-Вебба и Рубниа [6]. В этом случае коэффициенты уравнения для смеси могут быть вычислены по коэффициентам термического уравнения состояния для отдельных компонент.

Изложенный выше подход к расчету процессов в проточных частях центробежных компрессоров использован в программе для обработки результатов экспериментального исследования ступени на фреоне-12. Программа составлена применительно к ЭВМ типа «Напри-2».

Ленинградский технологический институт холодной промышленности

Поступнае 17.Х.1978.

JUNIEPATYPA

- 1. Рис. В Ф. Центробежные компрессорыде машины. М.—Л., «Машиностроение», 1964, 335 с.
- Ден Г. Н., Бухарин Н. Н. Метод условных температур для аналитического распета процессов сжатия реальных газов. «Холодильная техника», 1974. № 4, 37—40 с.
- Баренбоим А. Б. Малорасходные фреоновые турбокомпрессоры, М., «Машиностроение», 1971, 224 с.
- Вукалович М. П., Инвиков И. И. Техническая термодинамика, М., «Эпергия», 1968, 496 с.
- Ден Г. И. Механика потока в центробежных компрессорах. Л. «Машиностроение», 1973, 272 с.
- Бадылькее И. С. Свойства холодильных агрегатов. М. «Пищевая промышленность», 1974, 174 с.
- Thinh T. P., Duran J. L., Ramath R. S., Kallaguine S. Equations Improve Cp* Predictions, "Hydrocarbon Processing", January, 1971. p. 98—104.
- Иерельштейн И. И. Таблицы и диаграммы теродинамических свойсти фреонов 12, 13, 22. М., Изд. ВИИХИ, 1971, 92 с.
- Гурвич Л. В и др. Гермодинамические спойства индизидуальных вещести. Справочник. М. «Наука», 1978, 496 с.

6 0 4 U.S.4 U.S.O. F. B.O. F.

เของเกลนสารเลเษา (เกา...

		Մաստիսոսյան։ Տեսակարար ձևյման թայխումը բեռևաβափված ուղղորդների վրա	1
-	u.	Orand, Հ. Ռ. Մուդրարելյան։ Կիպանգկիլ սկավառակի բանվորական մակնրնույիի վրա ուլորանայնային աստանումների ամոյլիտուդի բաշխումը	11
		ՇԵՆԱՔԱՔԱԿԱՆ ՄԵԽԱՆԻԿԱ	
ય.	U.	. Հայվբաբծումյան Կարկասային շներերի ազատ ոչ գծային տատահուժենրի ձև. վերի ու Հահախականությունների որոչժան ժի մնիոդի մասին	18
		ՉԱՓՈՂԱԿԱՆ ՏԵԽՆԻՐԱ	
		վարդասյան։ Ճեշման դիֆերնեցիալ Թորոդիական սեղոնաստրային հայտնիչներ Սահակյան։ Բարձրագույն կարգի հմագարկիչ սարրերում շարժարեր մեխանիզմի	23
		Լլնկարաչարժիչի քիրիռաժեկուտացումը	11
		ՀԱՇՎՈՂԱԿԱՆ ՏՈՒՆԻԿԱ	
9.	ጉ	. Բեշանյան։ Ոլման ինֆորմացիալի և գործիրային սիալևերի ազգեցուիյան :ե- ապրոտումը մագիսարալալին գազամուցի ռպաիմալ ռեժիմային պարամետրերի Հաշվարկի Հյաուիյան վրա	26
		ԳԻՏԱԿԱՆ ՆՈԹԵՐ	
U.	1)	. Ավակիմով Ցանցի :անդույցների աստիճանավորումը բնոնհրի ռնակաիվ :զո- րուժյան կոմպնեսավորման դնպրում	ii
2	μ,	Քաղղասատյան, Ա. Մ. Արդումանյան, Վ. Բ. Վաօդիկյան։ ՀՀԳԴ Համակարդի	4.5
Q.).	βρβαπιմենրը մարուր շրγտալման դեպրում Դեն, Ո. Ե. հիրենվաս Ոնալ գագի սեղմման համար օգտադործվող կենտրոնա	48
	U.	խույս կոնպրեսորի հոսրային մասի Ոնրմադարդադինամիկական հաշվարկի մասին	53

СОДЕРЖАНИЕ

МАШИНОСТРОЕНИЕ

P.	C.	Мартиросян. Распределение удельных давлений на разгруженных направ- ляющих	3
11.	H.	. Орлов. Г. Р. Сисителян. Распределение амплитуды ультризвуковых ко-	U
		лебяний по рабочей поверхности притирочного диска	11
		строптельная мехапика	
В.	А.	Амбарцумян Об одном методе определения частот и форм свободных пелинейных колебаний каркасных зданий	18
		АЛИНХЭТ ВАНЬПЭТИЧЭМЕН	
В.	₽.	Варданяя. Дифференциальные торондальные резонаторные датчики давления	25
Э.	C.	Саакян. Виброизоляция электродвигателя движущего механизма в электропроигрывающих устройствах высшего класса	33
		вычислительная техника	
Γ.	Д.	Беджанян. Исследование илияния исходной информации иниструментальной погрешности на точность расчета оптимальных режимных параметров магистрального газопровода	38
-		научные заметки	got.
Α.	C.	Анакимов Ранжировка узлов сети при компенсации реактивной мощности	44
r.	Б.	нагрузок Багдасарян, А. М. Арзуманян, В. Б. Вардикян. Вибрация СПИД при	
		чистовом точения Лен. Р Е. Епремян К термогазодинамическому расчету проточной	53



Технический редактор Л. А. АЗНЗБЕКЯН

ВФ 03108. Подписано к печати 21/1 1980 г. Тираж 465. Нзд. 5156. Заказ 1078. Формат бумаги 70×1081/16. Печ. л. 3,75. Бум. л. 1.88 Усл. печ. л. 5,25. Уч. изд. листов 3,95.

Издательство Академии наук Армянской ССР, 375019, Ереван, Барекамутян, 24-г. Типография Издательства АН Армянской ССР, Ереван, Барекамутян, 24.